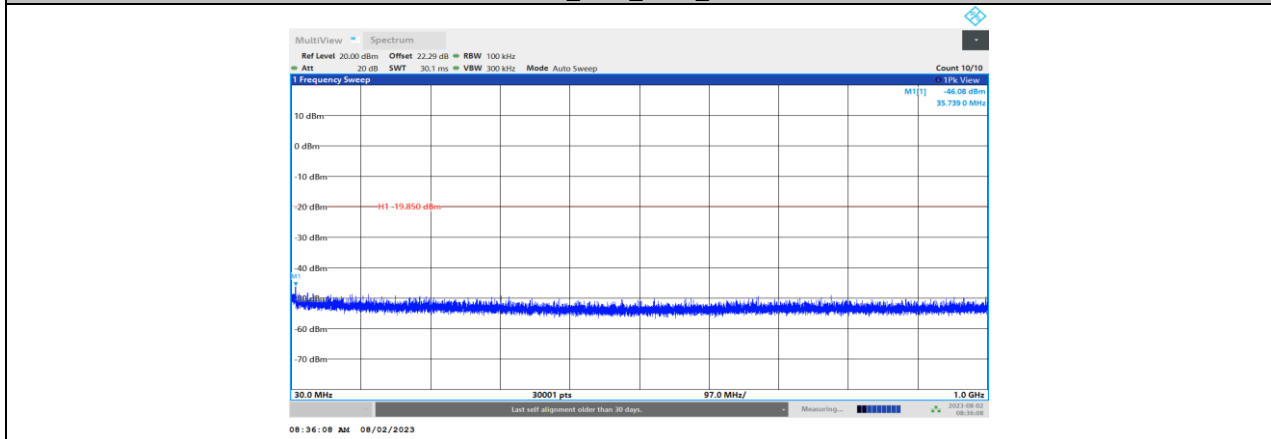
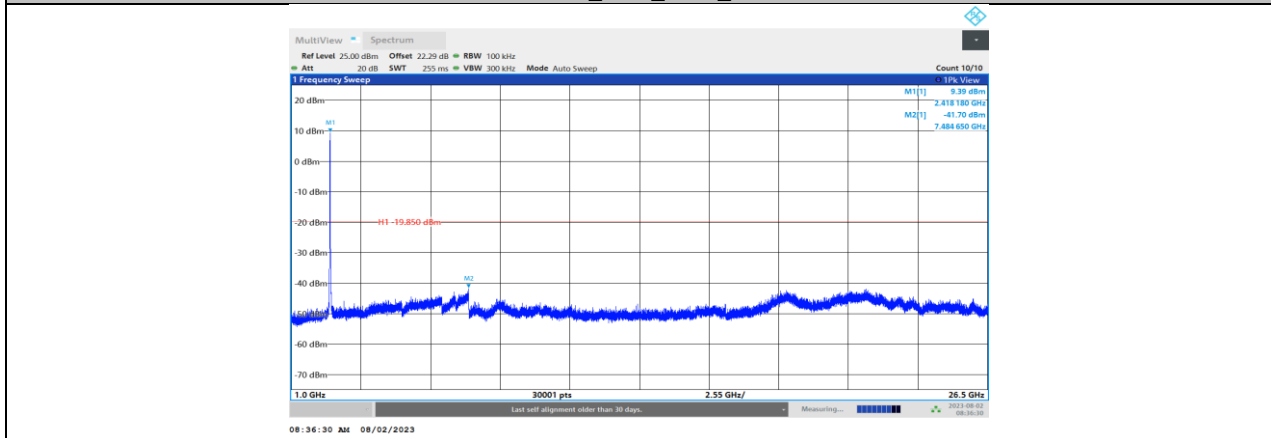


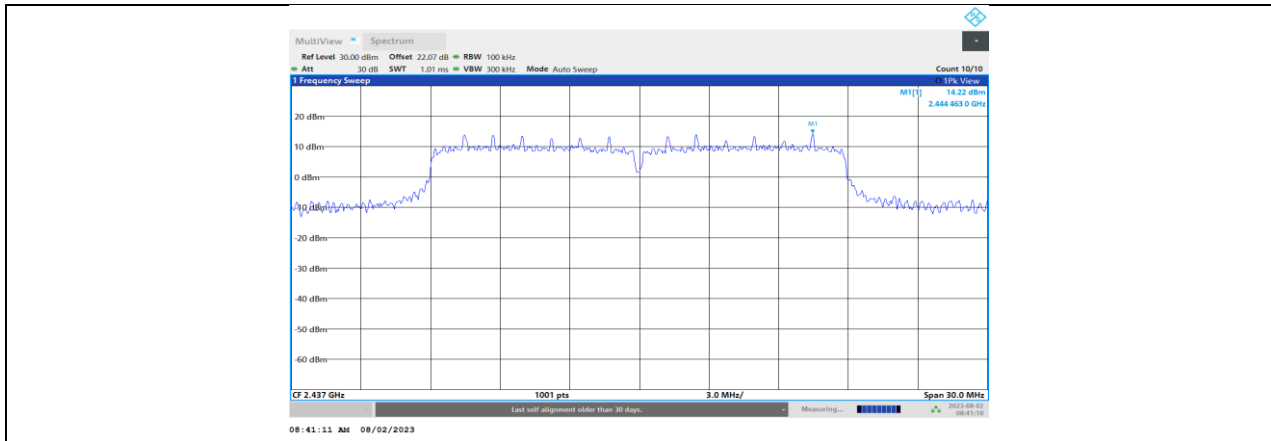
11N20MIMO_Ant4_2417_0~Reference



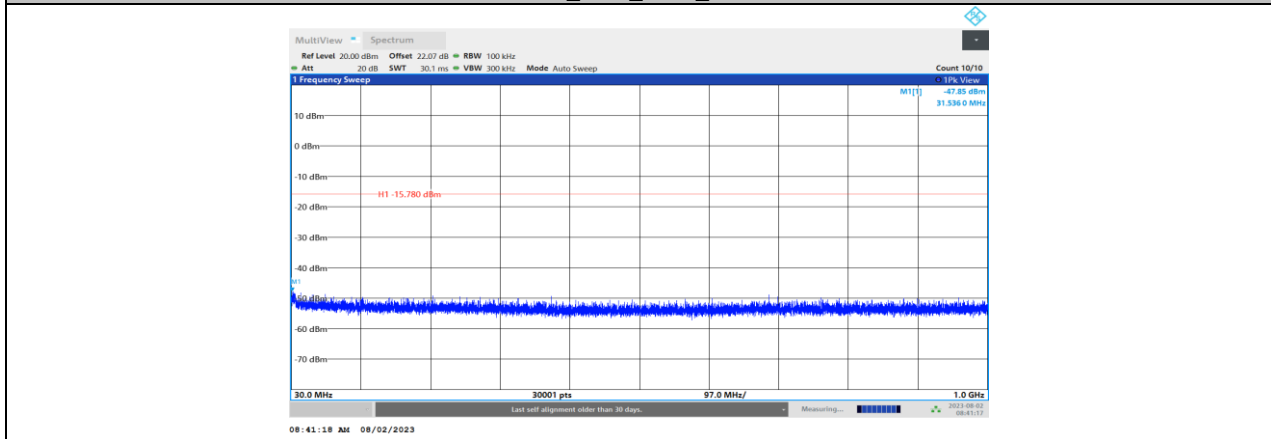
11N20MIMO_Ant4_2417_30~1000



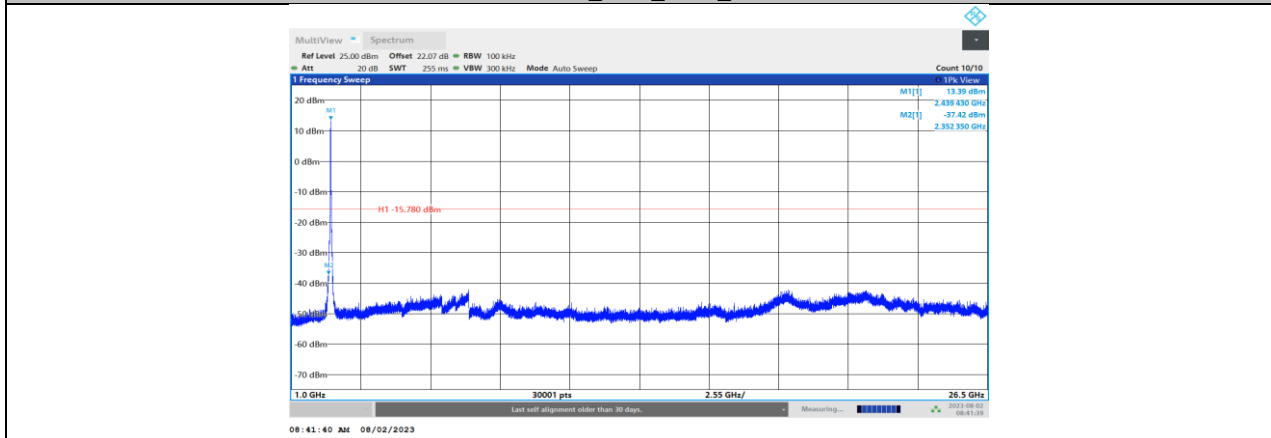
11N20MIMO_Ant4_2417_1000~26500



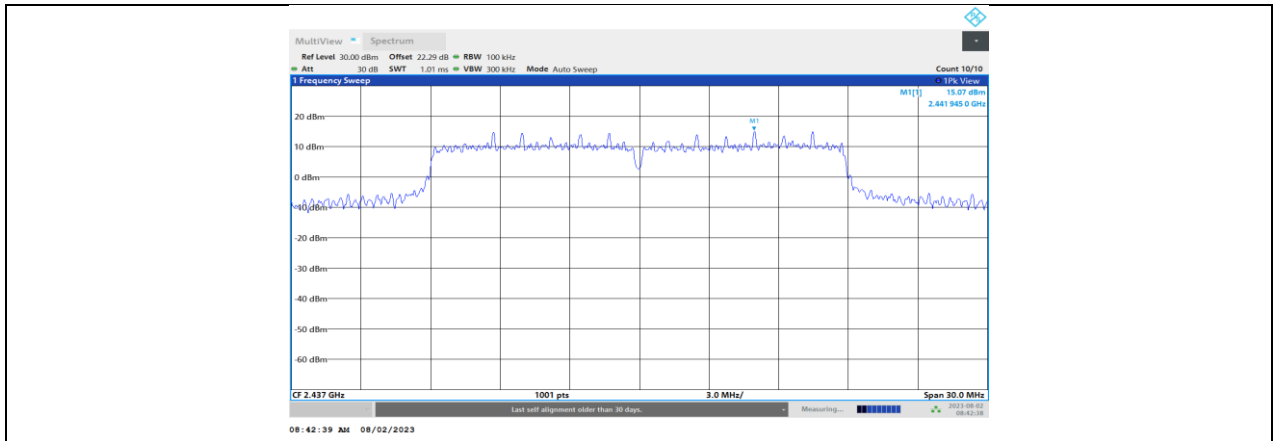
11N20MIMO_Ant2_2437_0~Reference



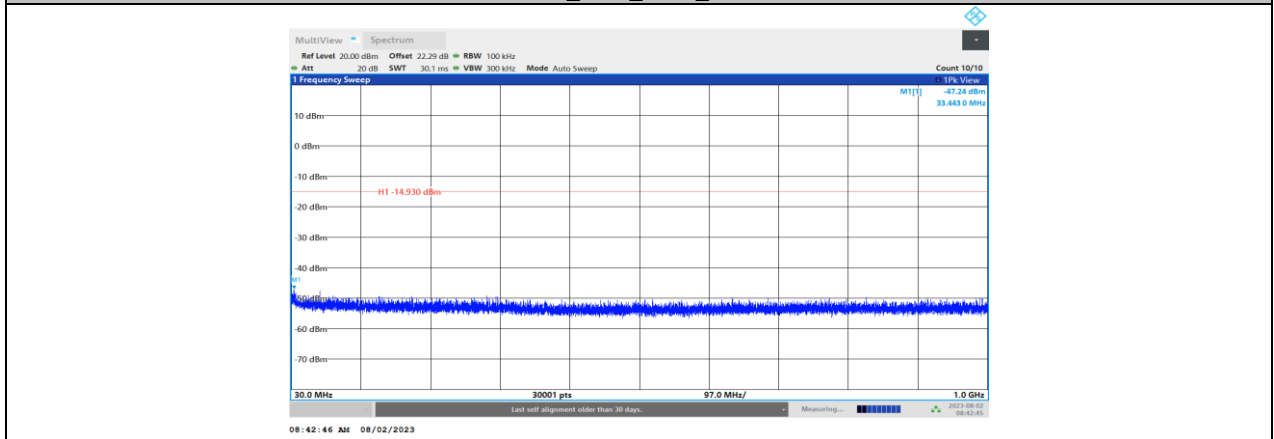
11N20MIMO_Ant2_2437_30~1000



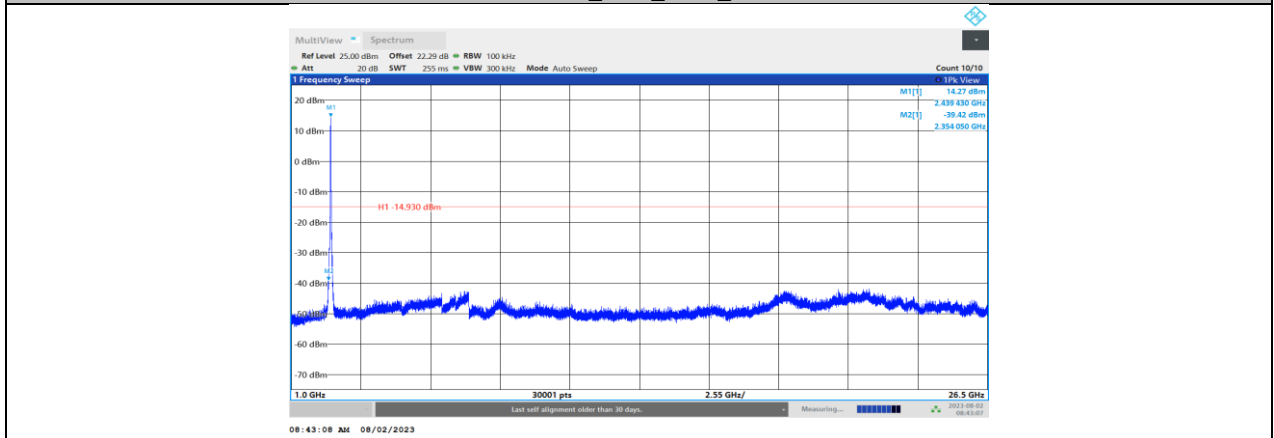
11N20MIMO_Ant2_2437_1000~26500



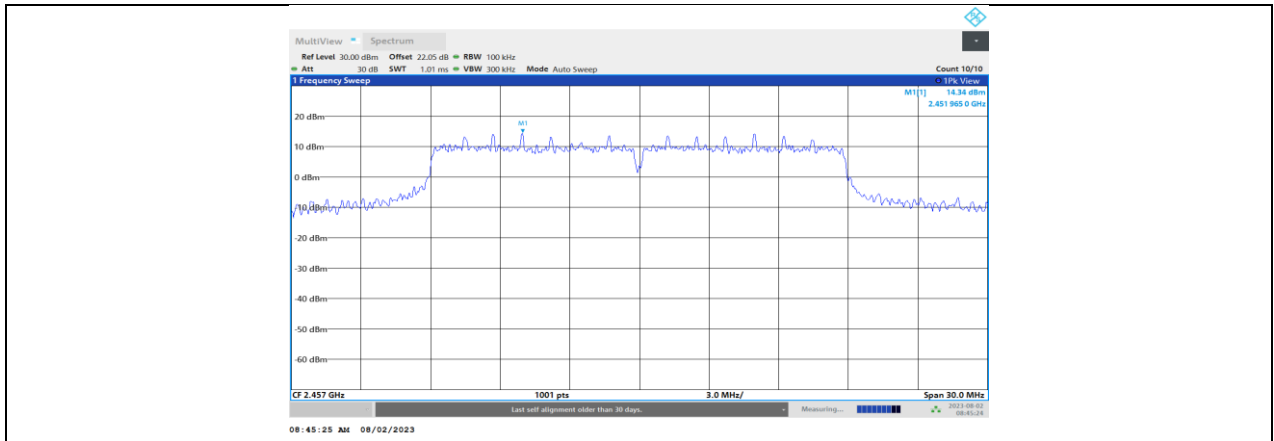
11N20MIMO_Ant4_2437_0~Reference



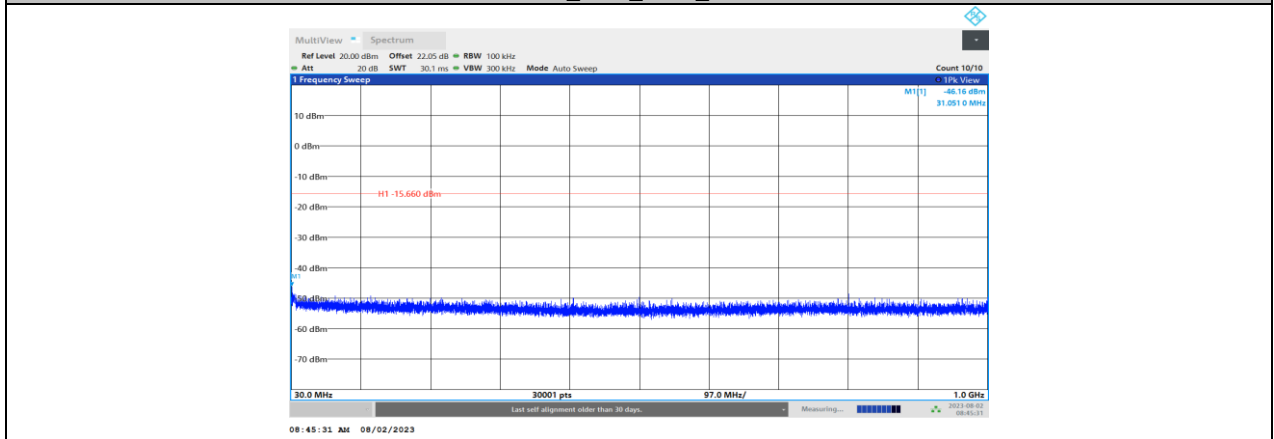
11N20MIMO_Ant4_2437_30~1000



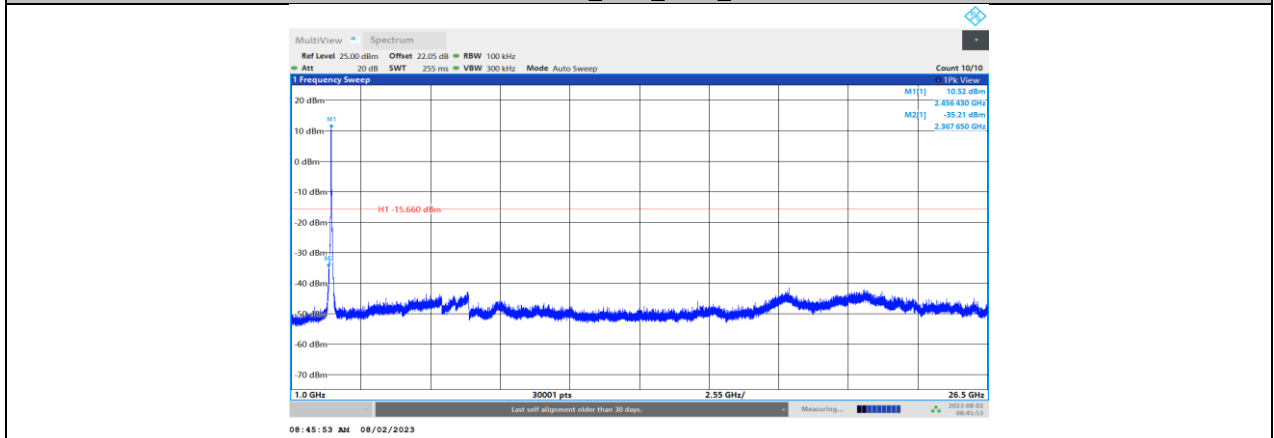
11N20MIMO_Ant4_2437_1000~26500



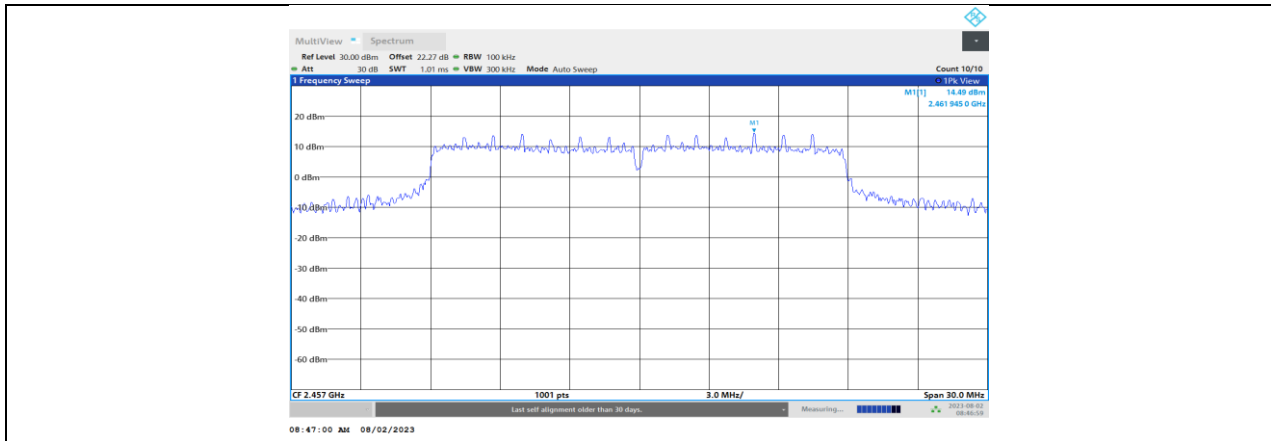
11N20MIMO_Ant2_2457_0~Reference



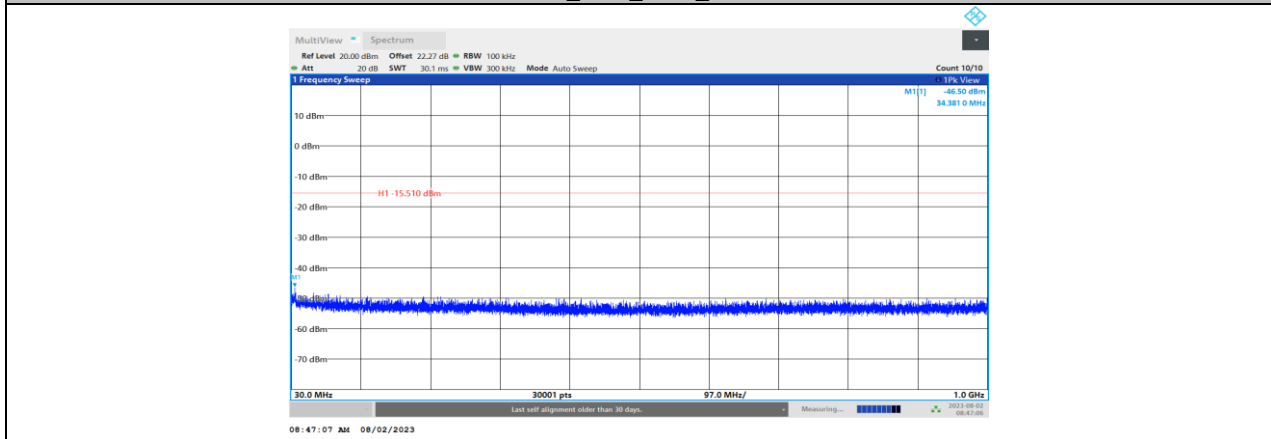
11N20MIMO_Ant2_2457_30~1000



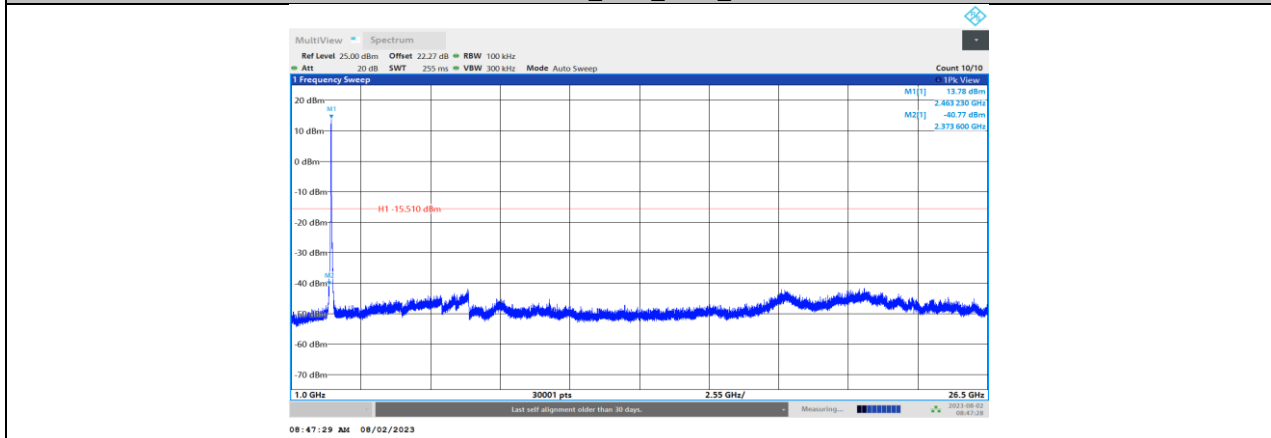
11N20MIMO_Ant2_2457_1000~26500



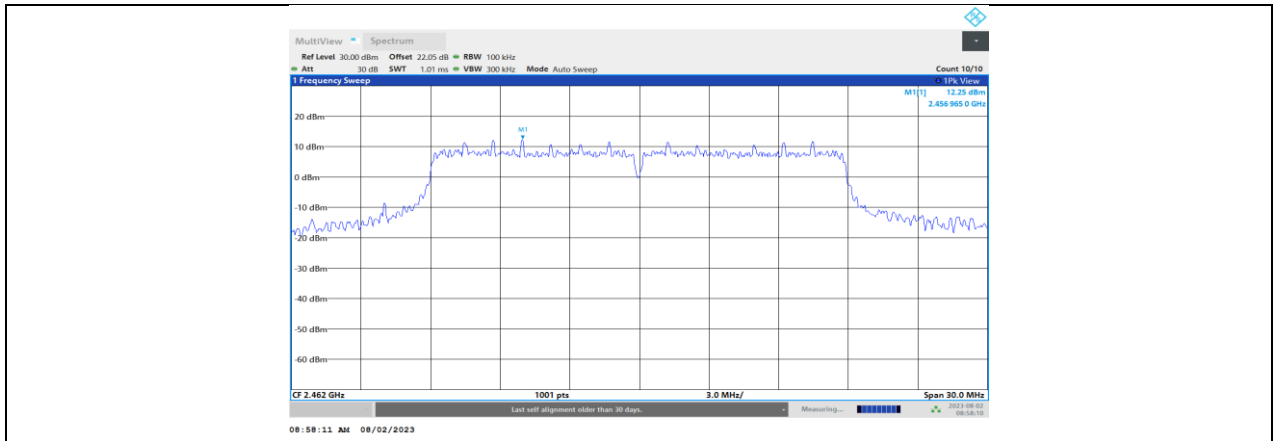
11N20MIMO_Ant4_2457_0~Reference



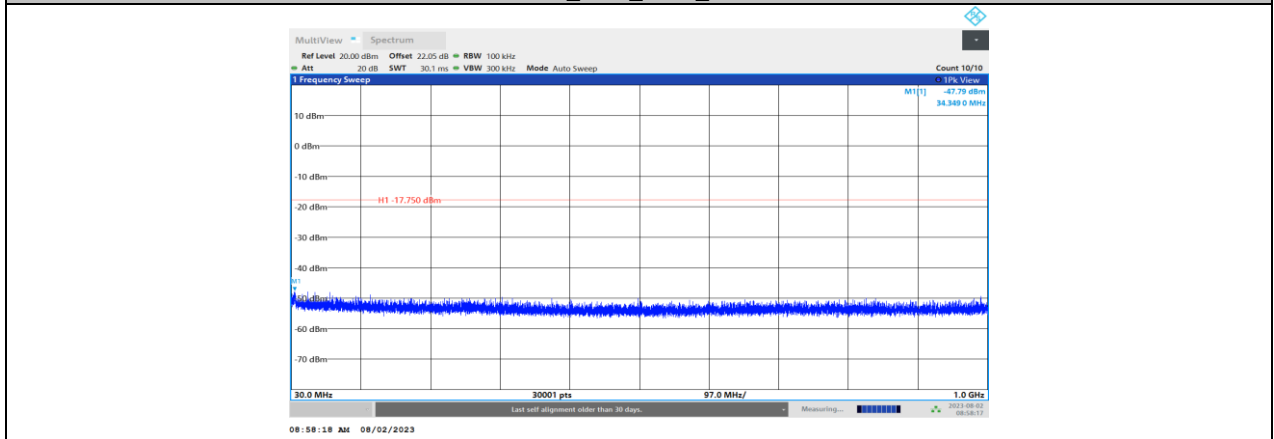
11N20MIMO_Ant4_2457_30~1000



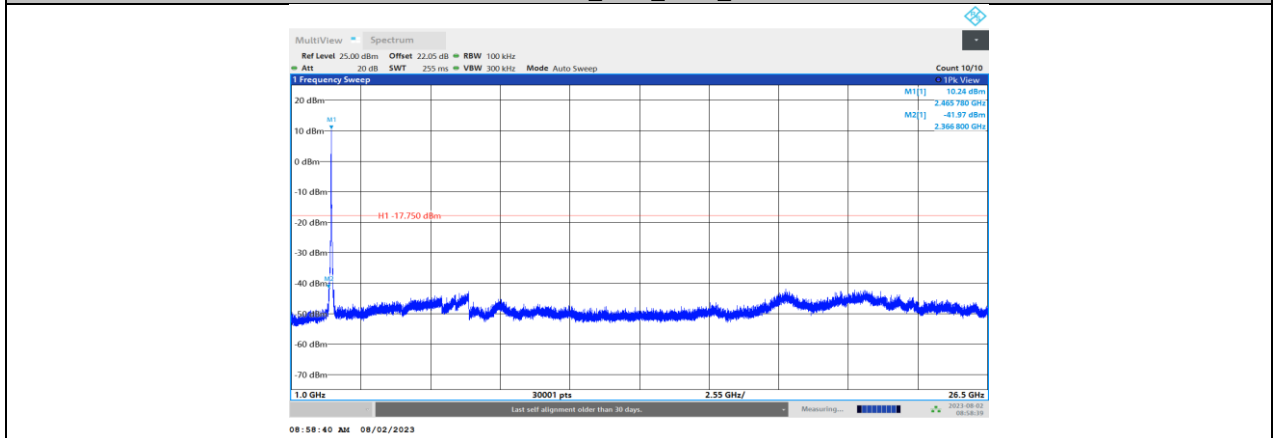
11N20MIMO_Ant4_2457_1000~26500



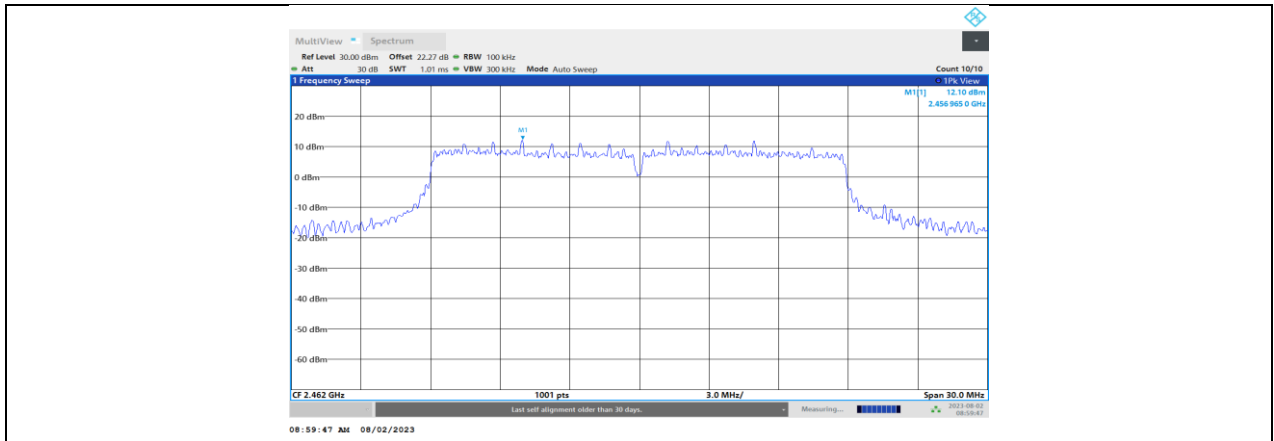
11N20MIMO_Ant2_2462_0~Reference



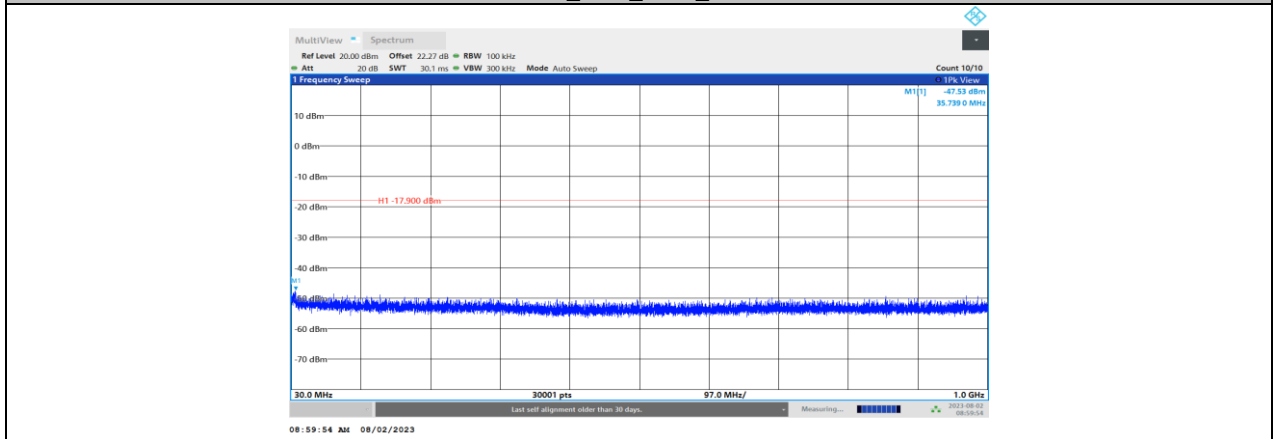
11N20MIMO_Ant2_2462_30~1000



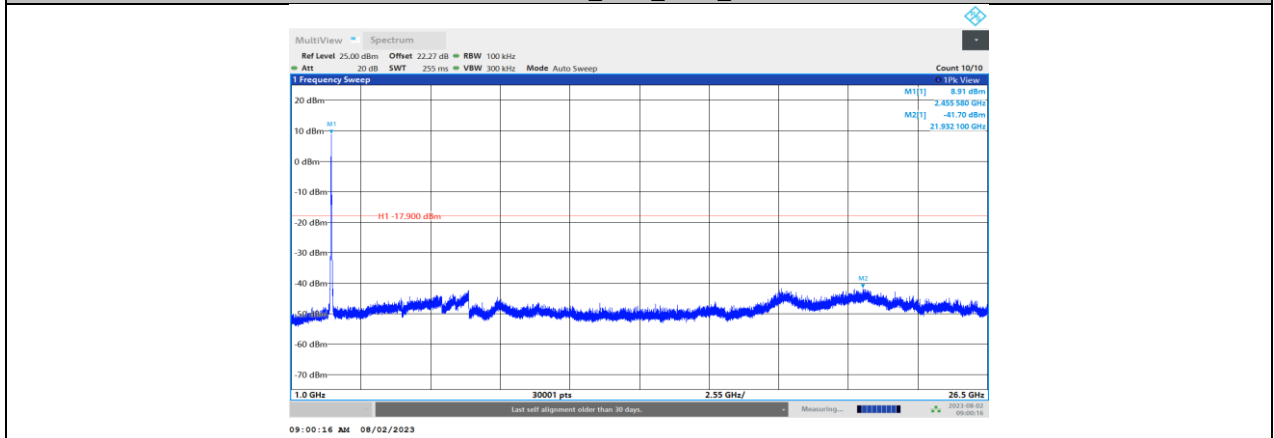
11N20MIMO_Ant2_2462_1000~26500



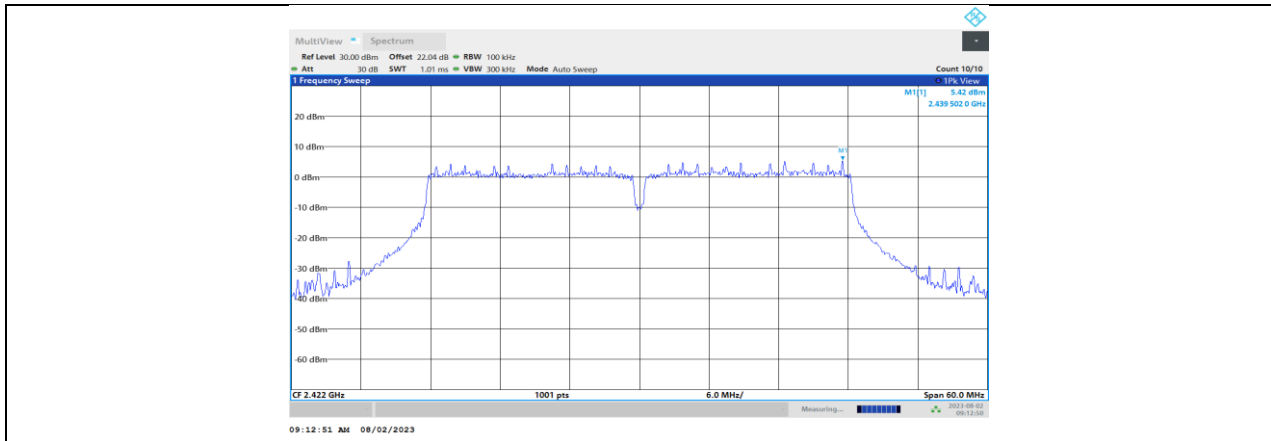
11N20MIMO_Ant4_2462_0~Reference



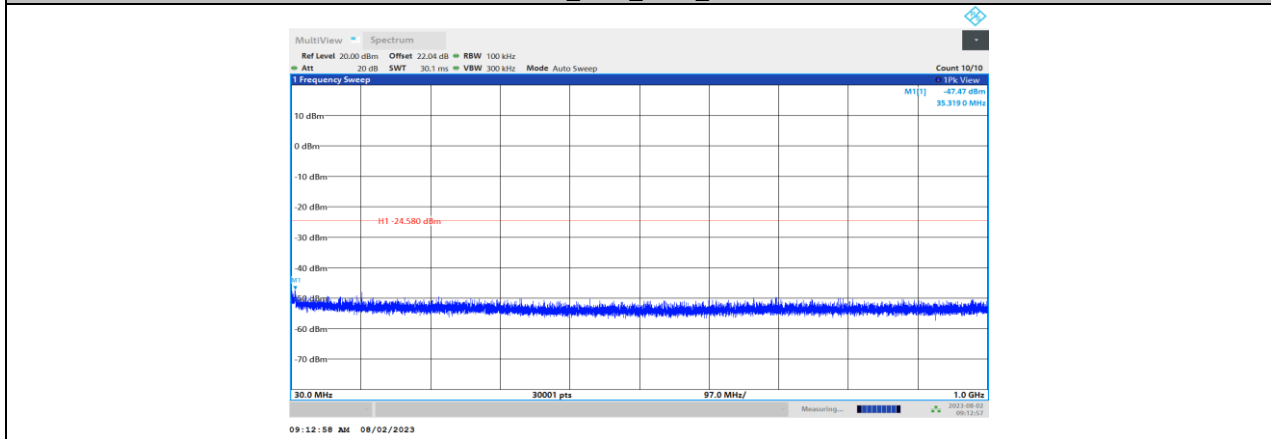
11N20MIMO_Ant4_2462_30~1000



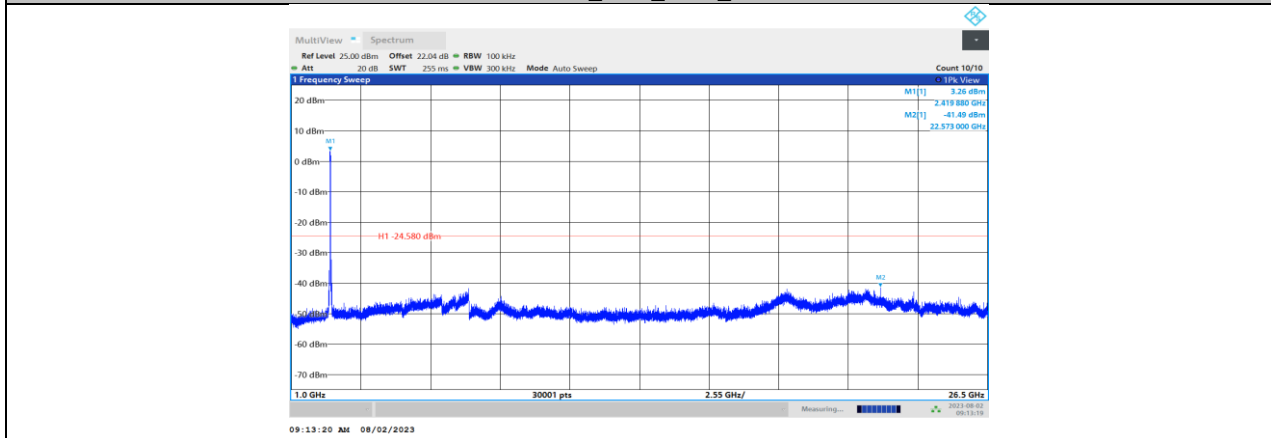
11N20MIMO_Ant4_2462_1000~26500



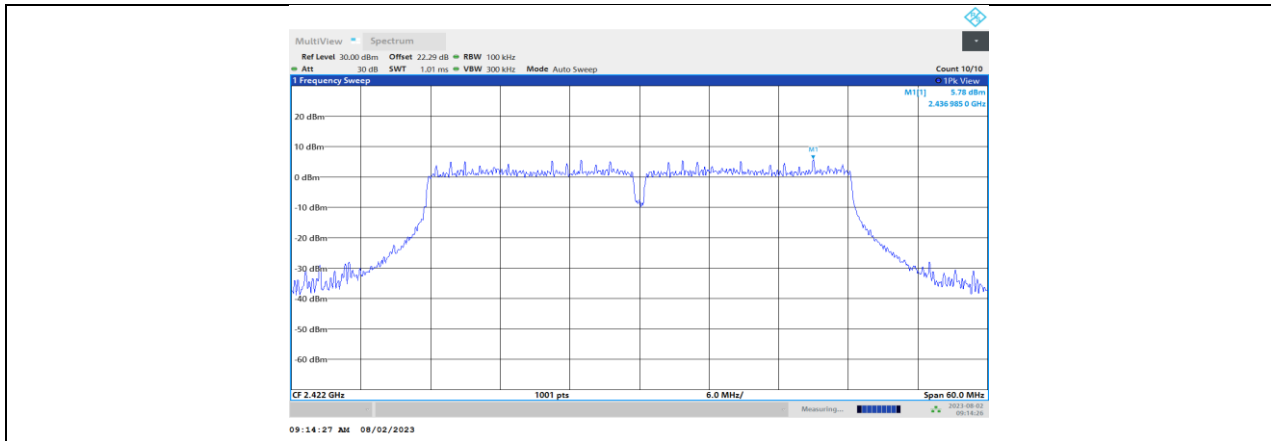
11N40MIMO_Ant2_2422_0~Reference



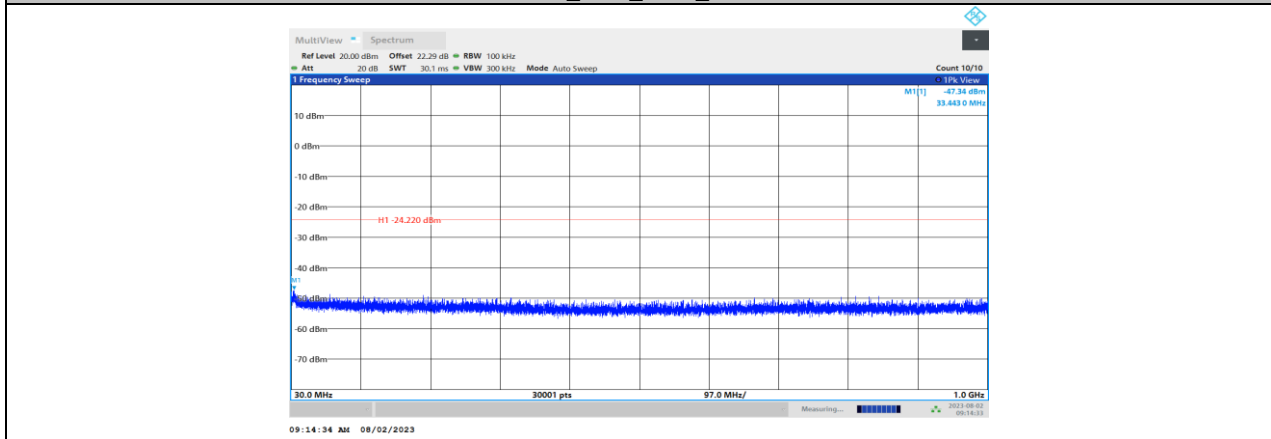
11N40MIMO_Ant2_2422_30~1000



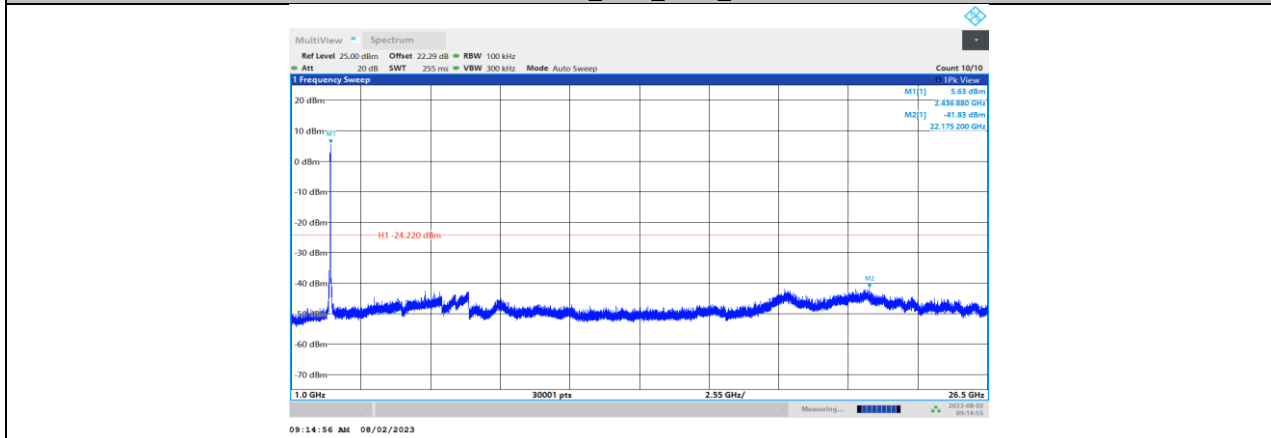
11N40MIMO_Ant2_2422_1000~26500



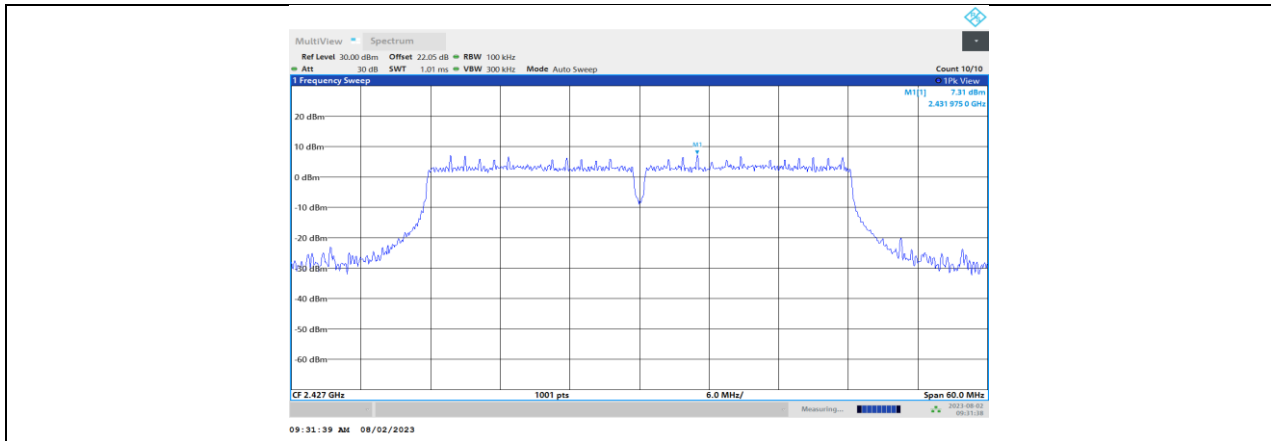
11N40MIMO_Ant4_2422_0~Reference



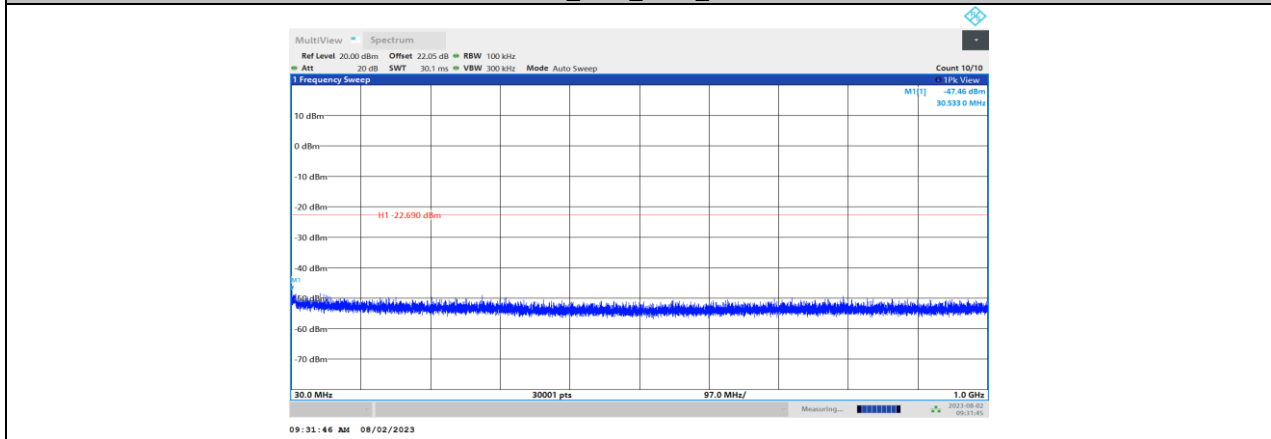
11N40MIMO_Ant4_2422_30~1000



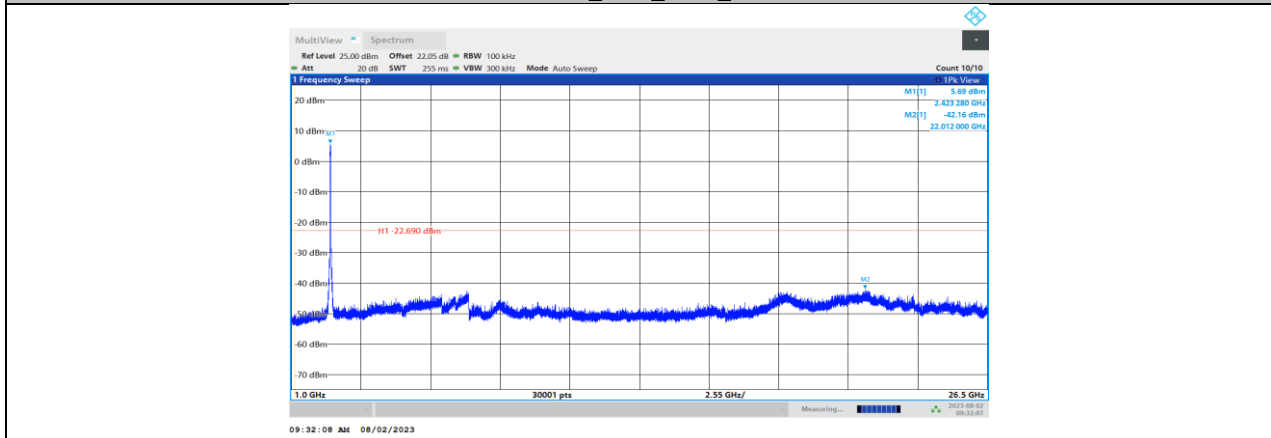
11N40MIMO_Ant4_2422_1000~26500



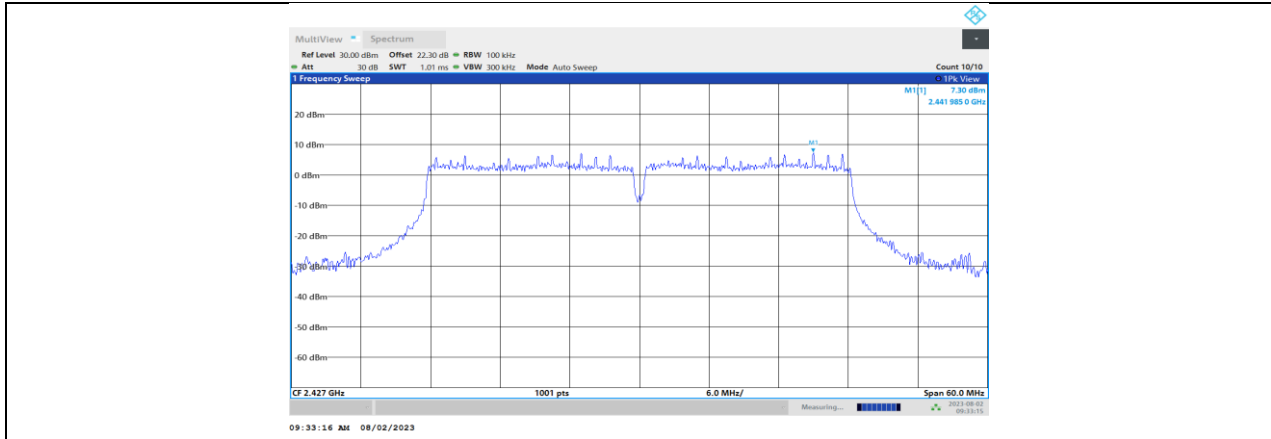
11N40MIMO_Ant2_2427_0~Reference



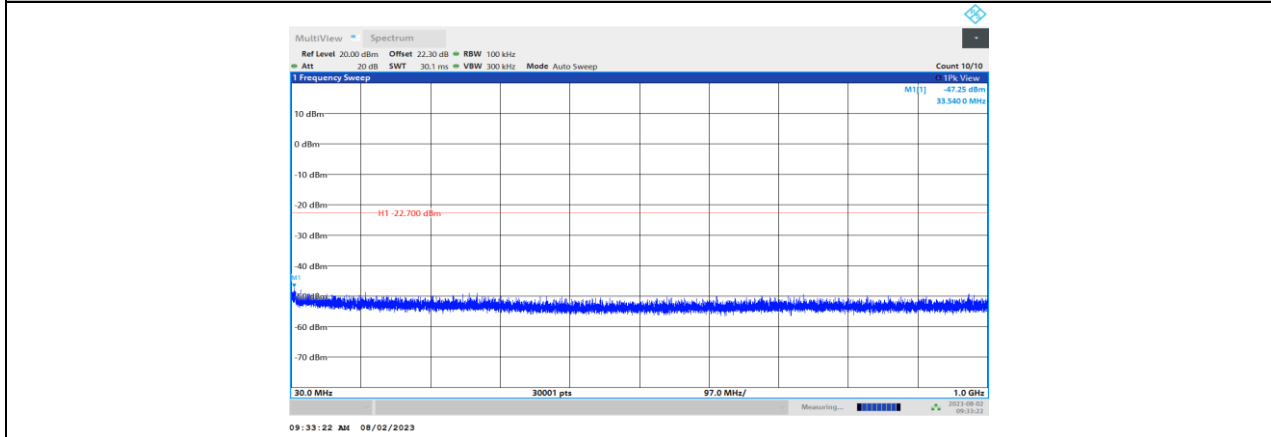
11N40MIMO_Ant2_2427_30~1000



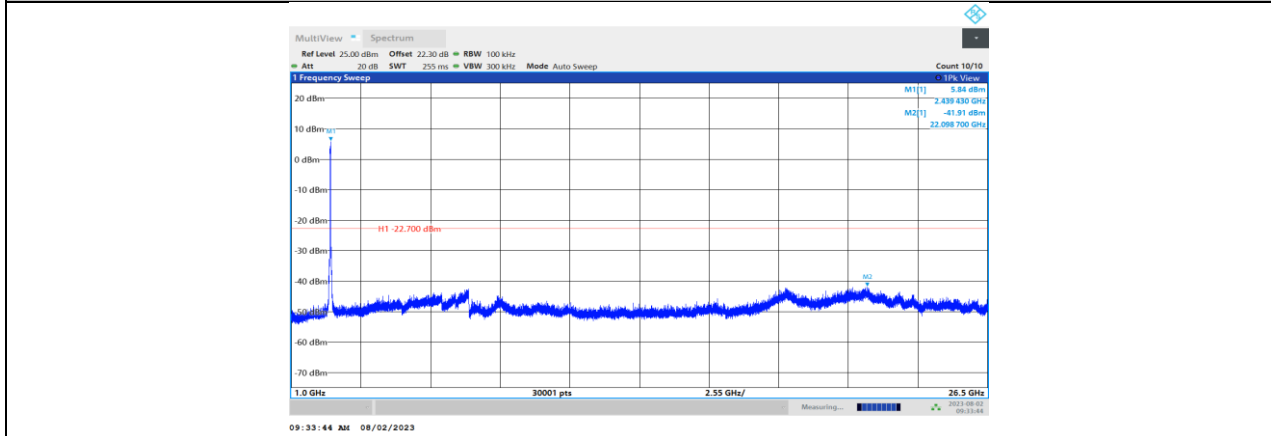
11N40MIMO_Ant2_2427_1000~26500



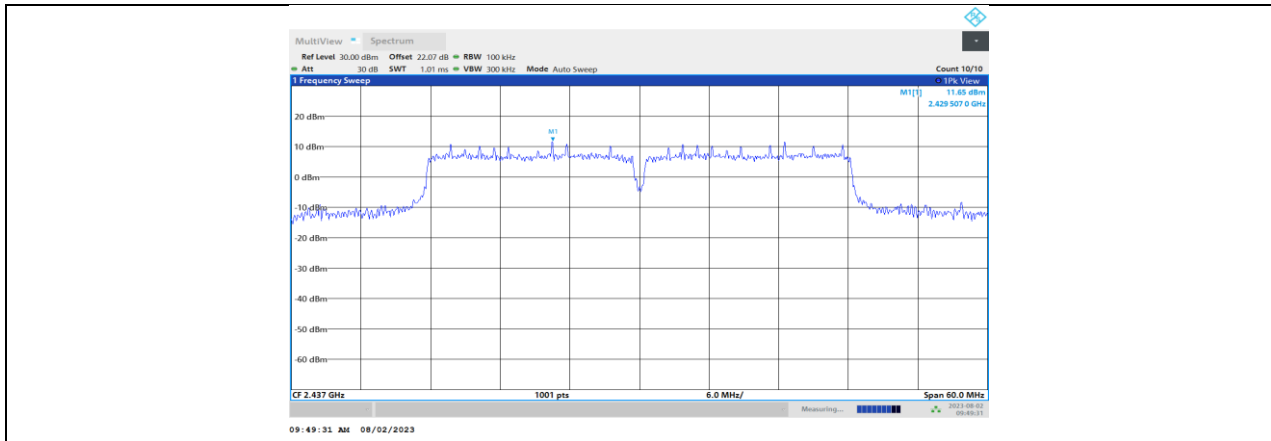
11N40MIMO_Ant4_2427_0~Reference



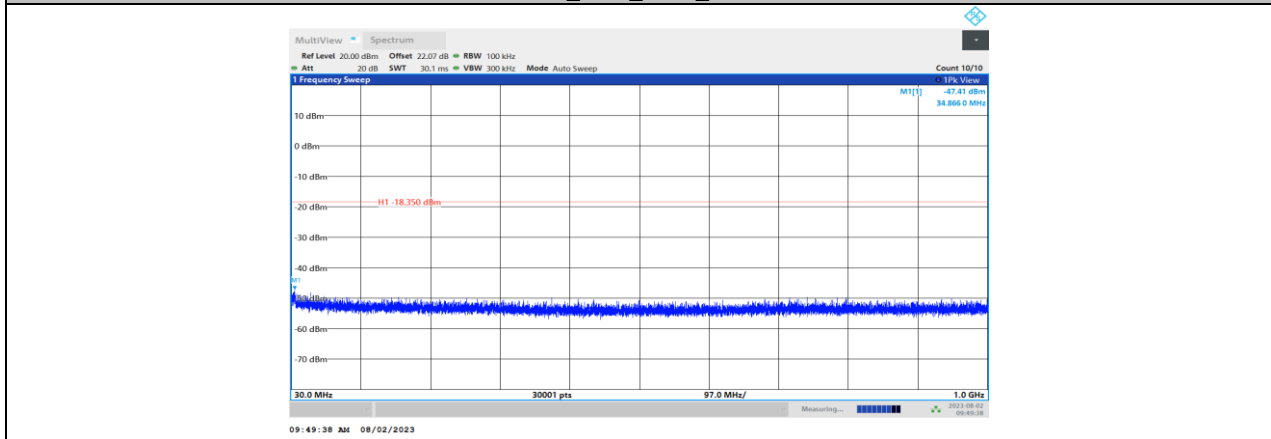
11N40MIMO_Ant4_2427_30~1000



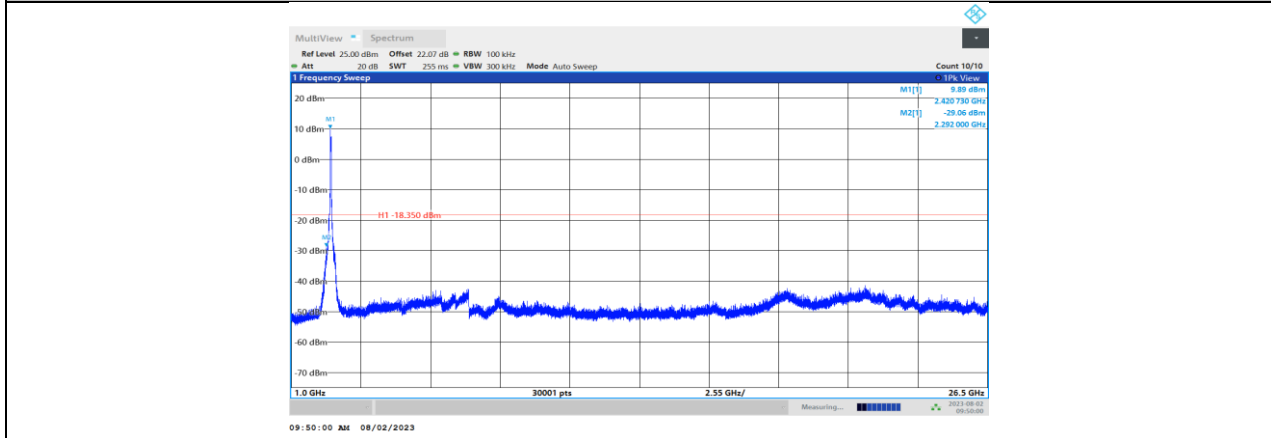
11N40MIMO_Ant4_2427_1000~26500



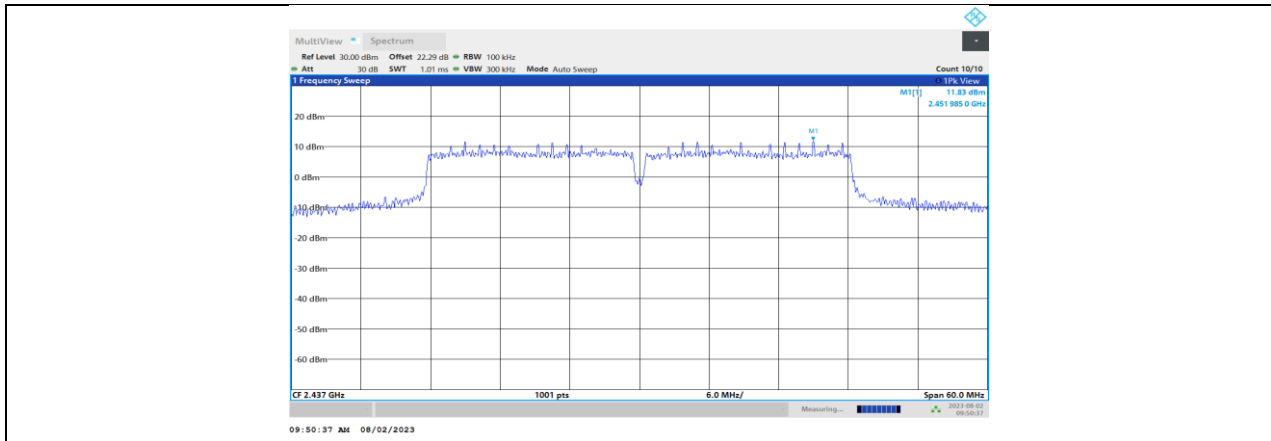
11N40MIMO_Ant2_2437_0~Reference



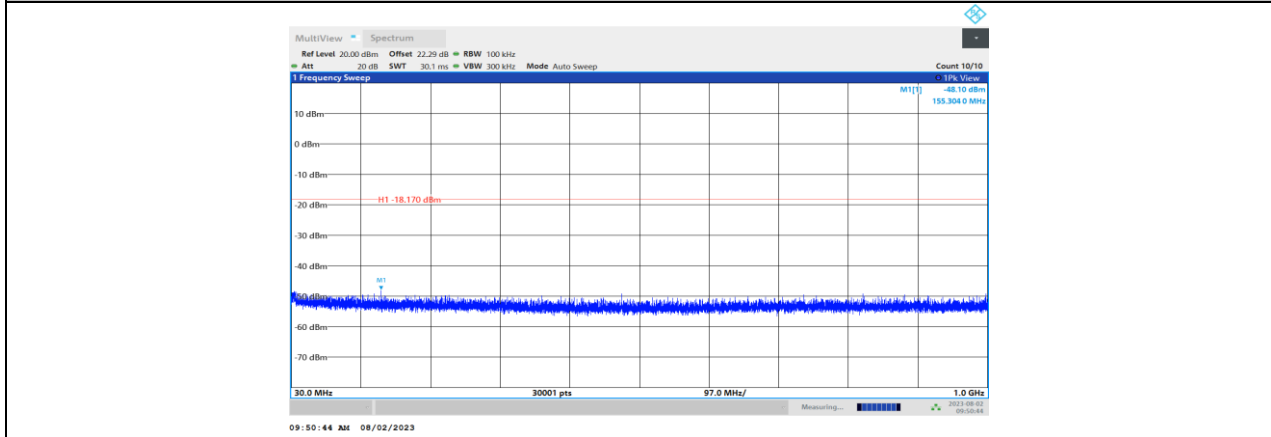
11N40MIMO_Ant2_2437_30~1000



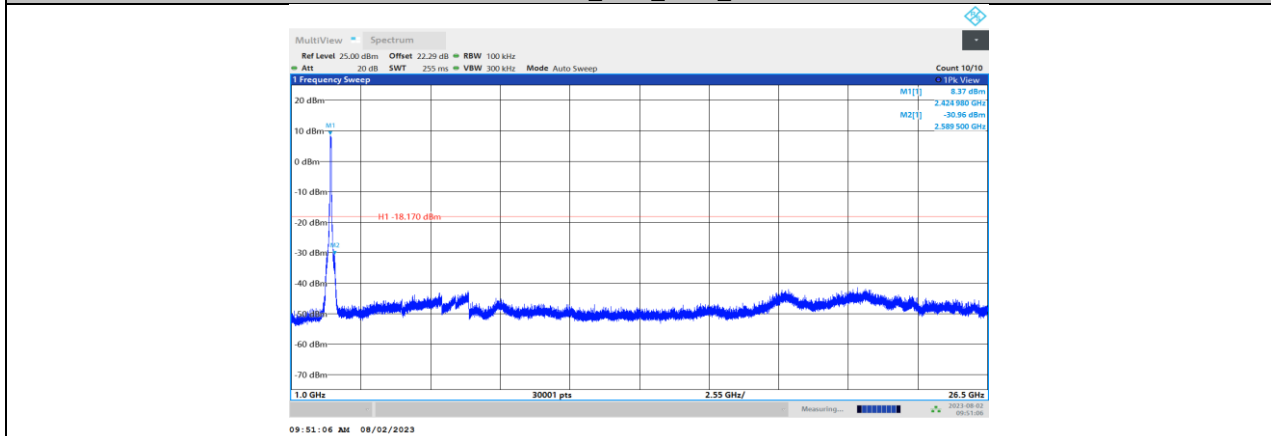
11N40MIMO_Ant2_2437_1000~26500



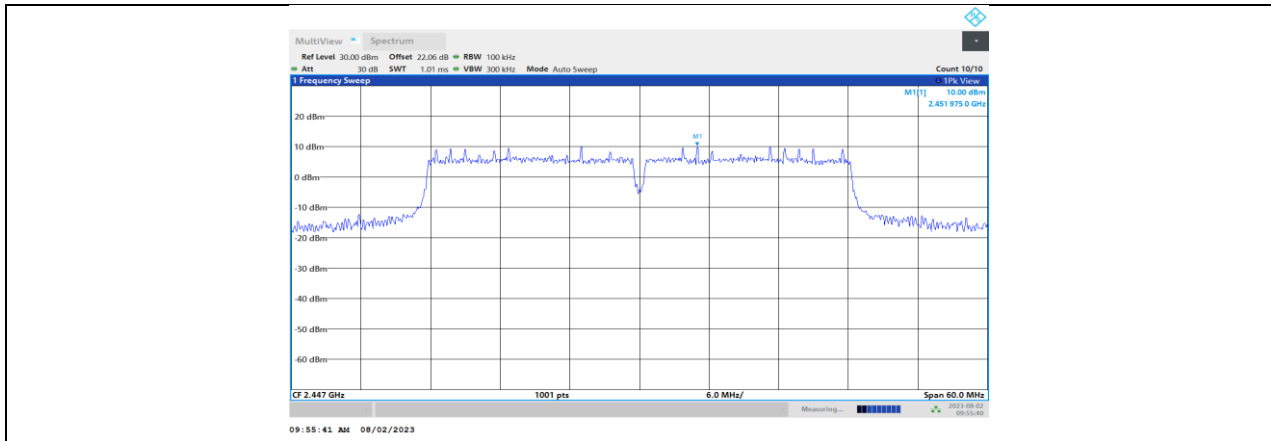
11N40MIMO_Ant4_2437_0~Reference



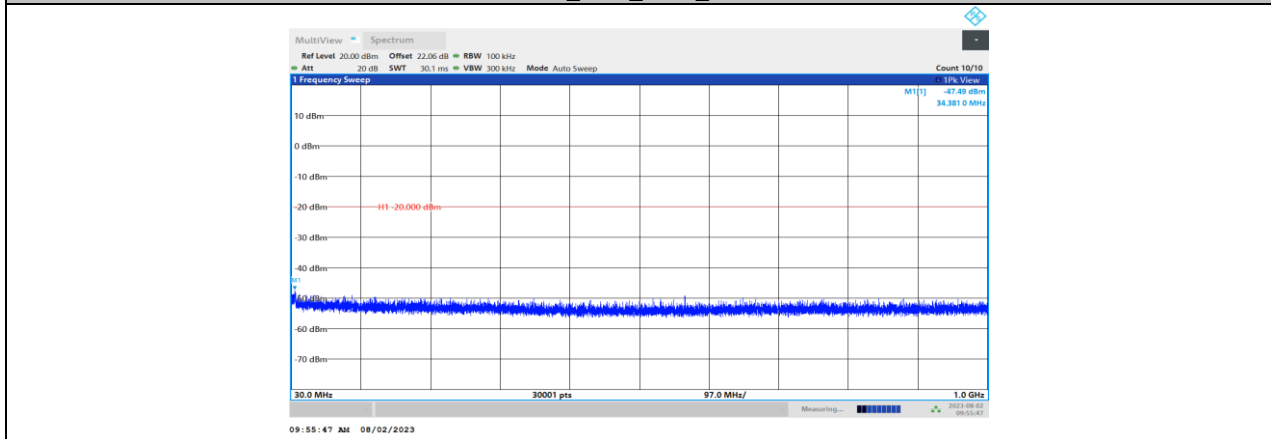
11N40MIMO_Ant4_2437_30~1000



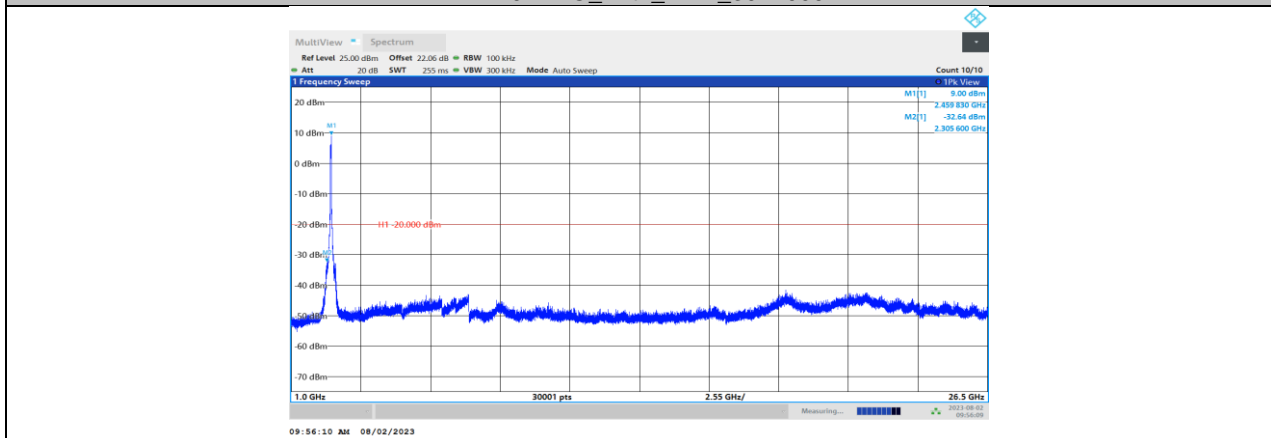
11N40MIMO_Ant4_2437_1000~26500



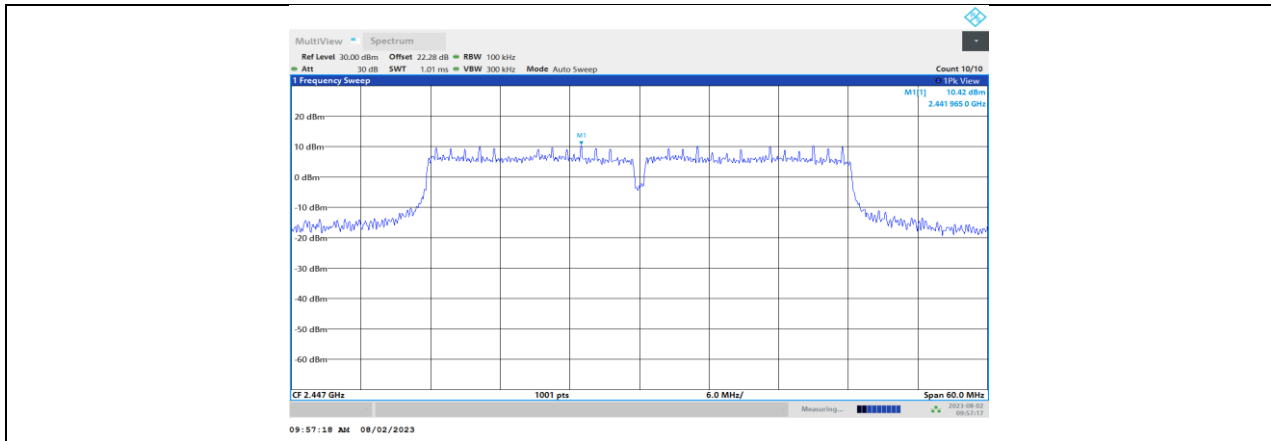
11N40MIMO_Ant2_2447_0~Reference



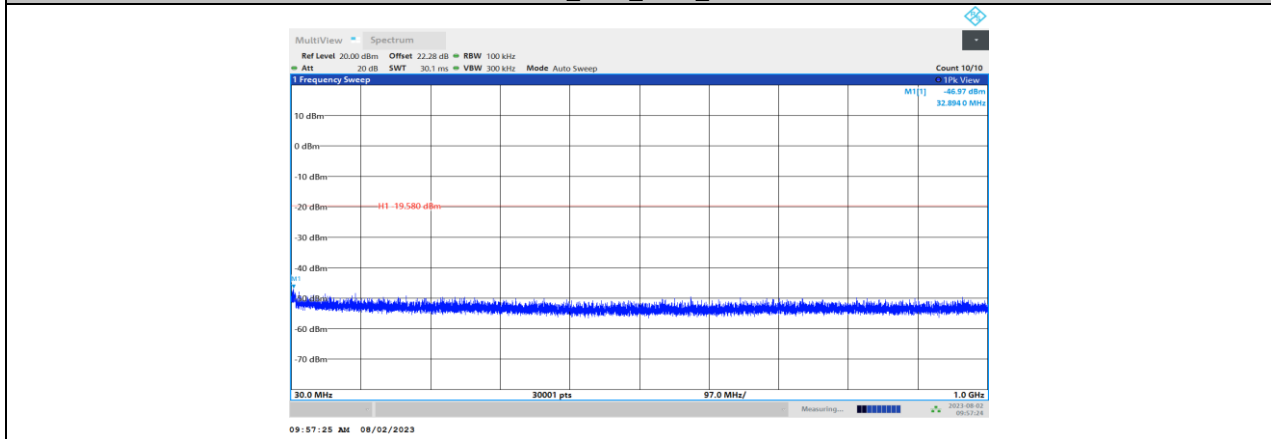
11N40MIMO_Ant2_2447_30~1000



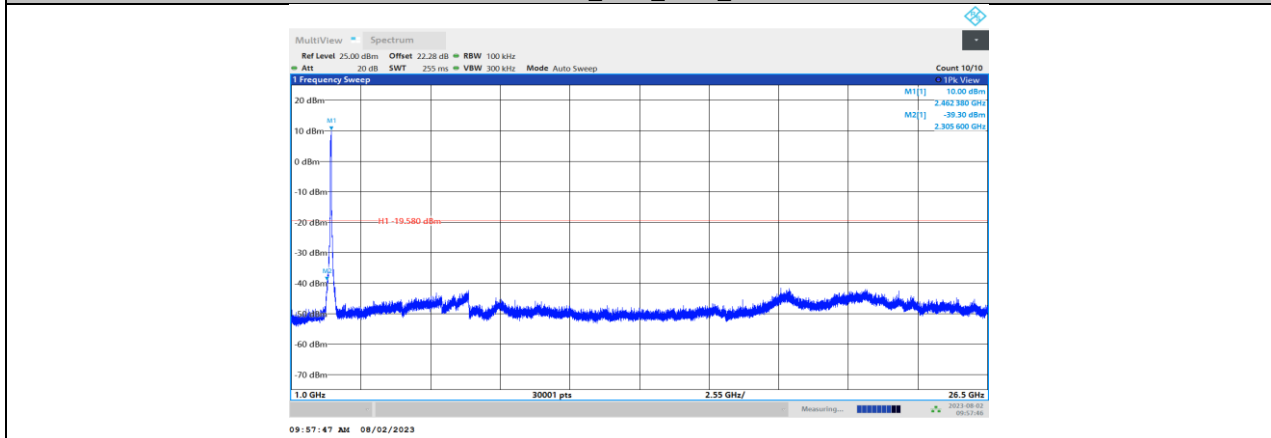
11N40MIMO_Ant2_2447_1000~26500



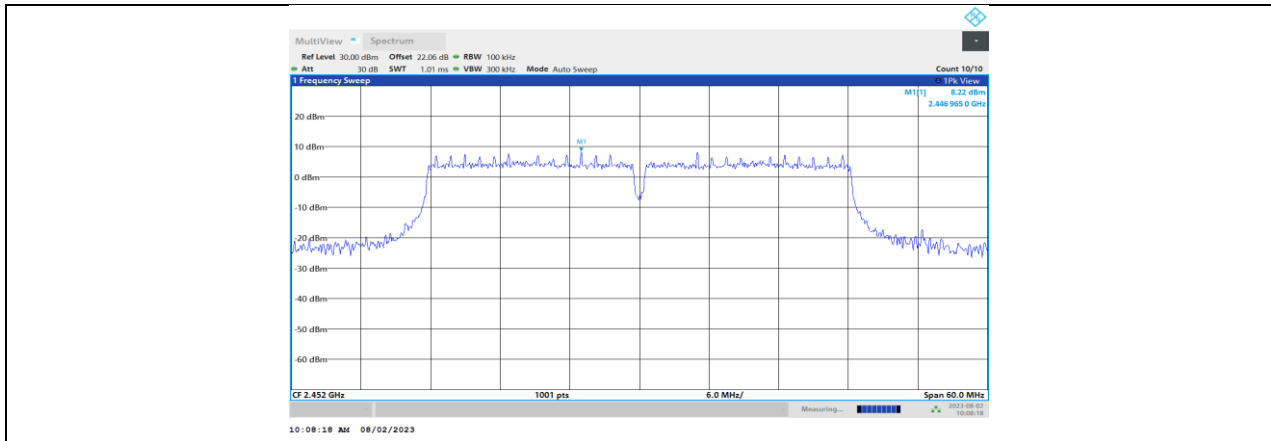
11N40MIMO_Ant4_2447_0~Reference



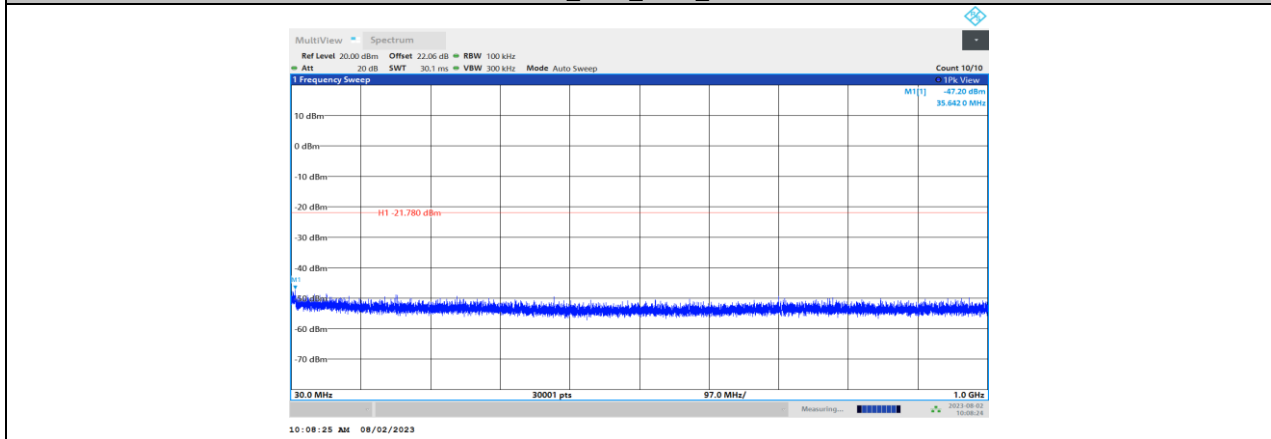
11N40MIMO_Ant4_2447_30~1000



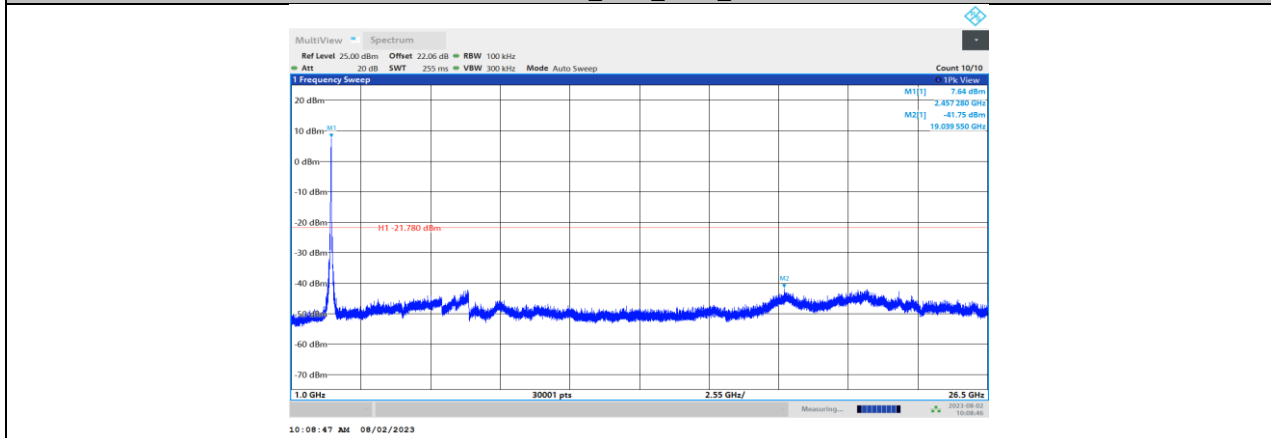
11N40MIMO_Ant4_2447_1000~26500



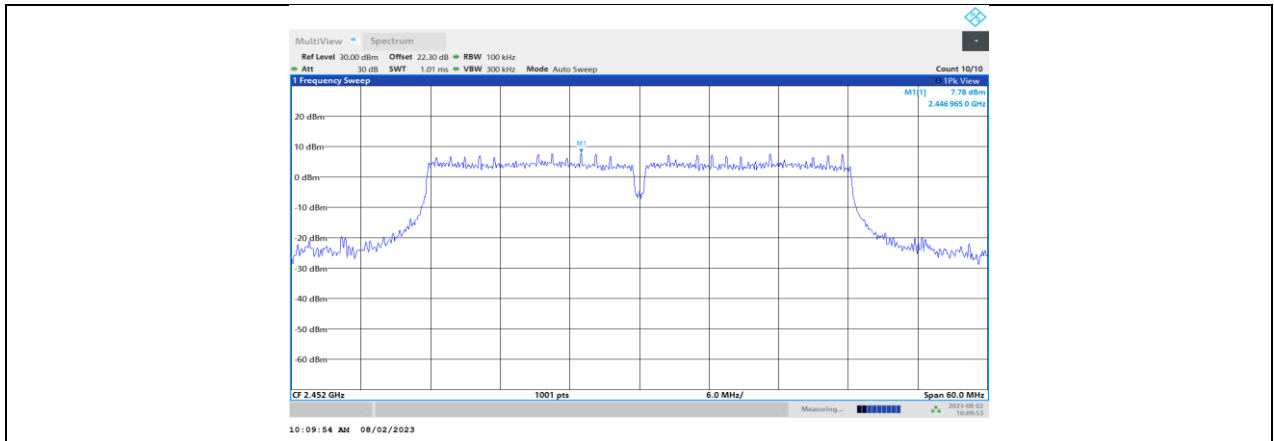
11N40MIMO_Ant2_2452_0~Reference



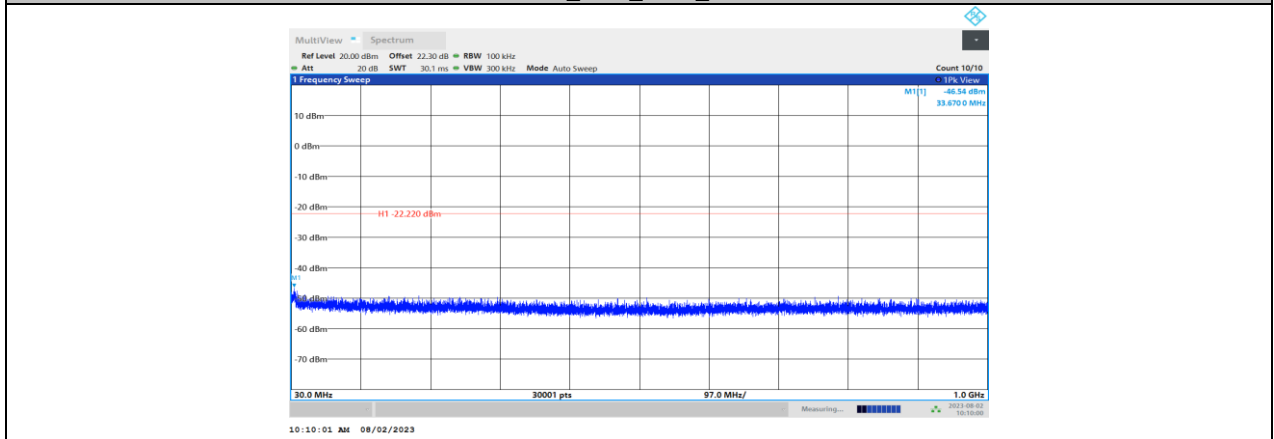
11N40MIMO_Ant2_2452_30~1000



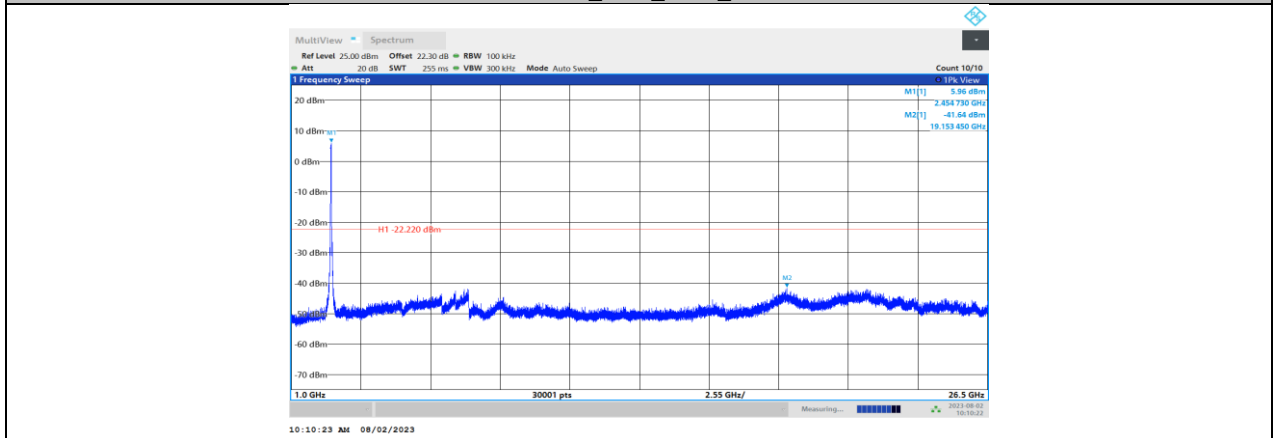
11N40MIMO_Ant2_2452_1000~26500



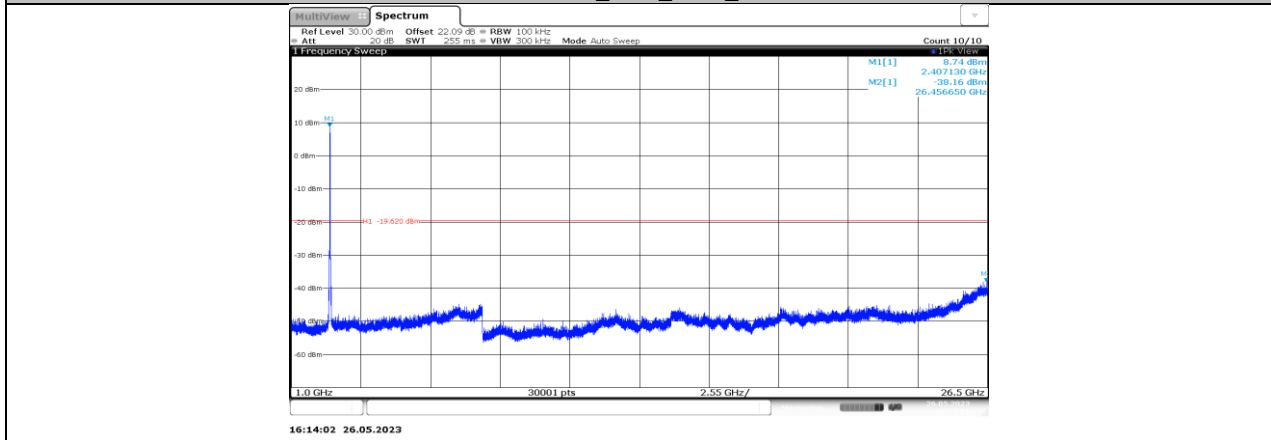
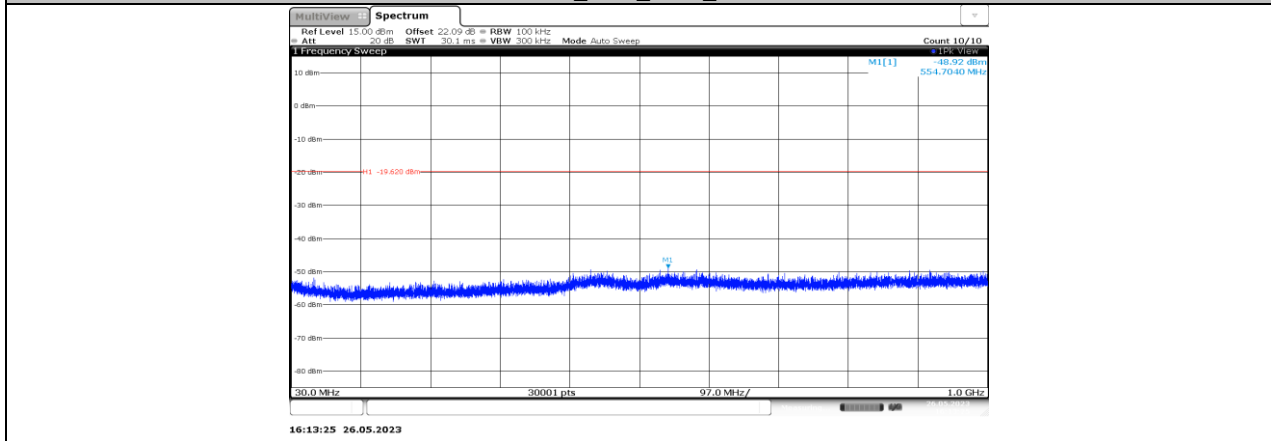
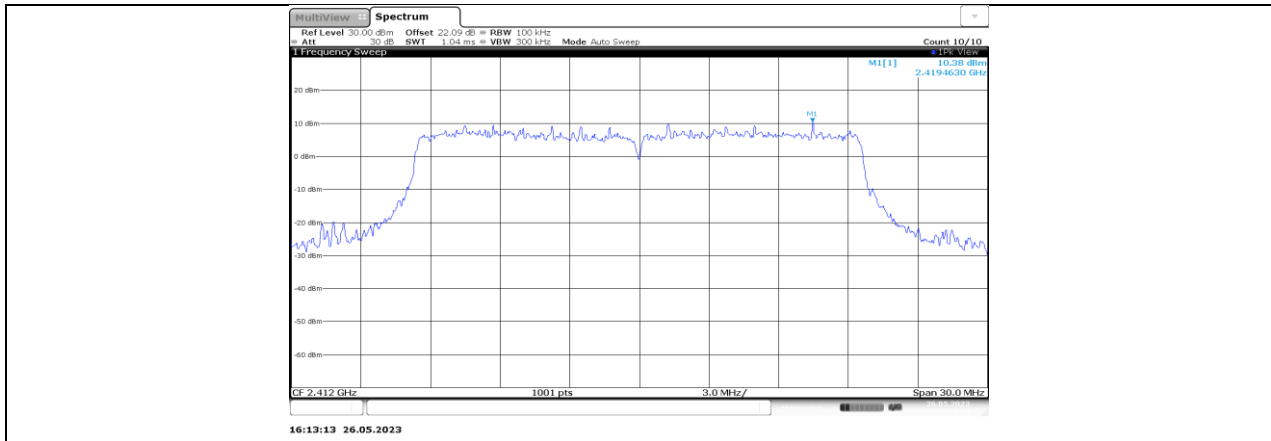
11N40MIMO_Ant4_2452_0~Reference

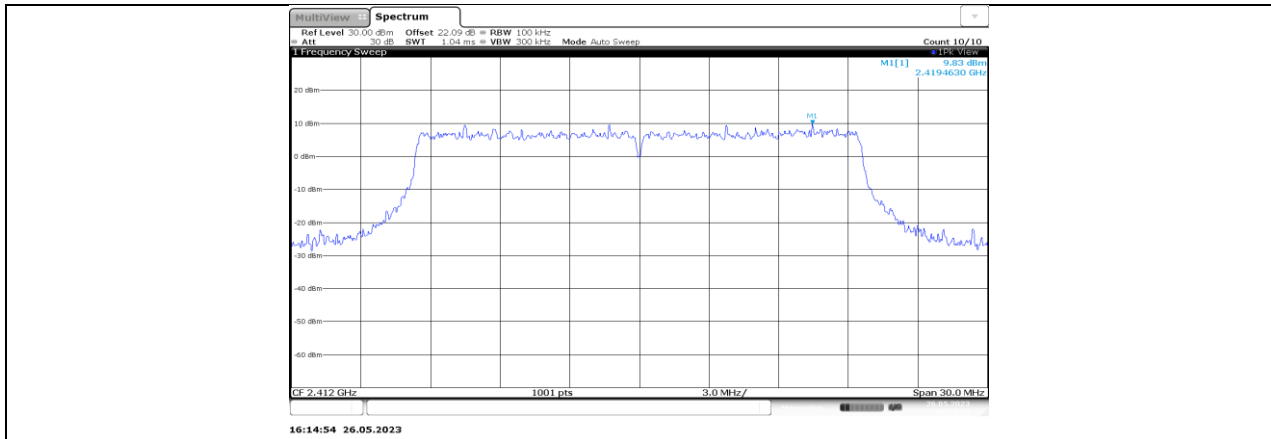


11N40MIMO_Ant4_2452_30~1000

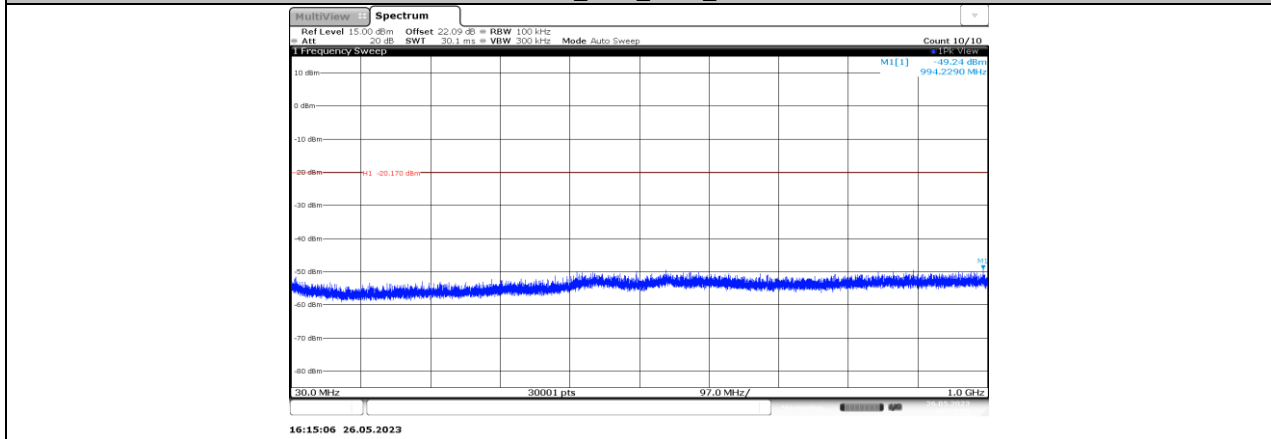


11N40MIMO_Ant4_2452_1000~26500

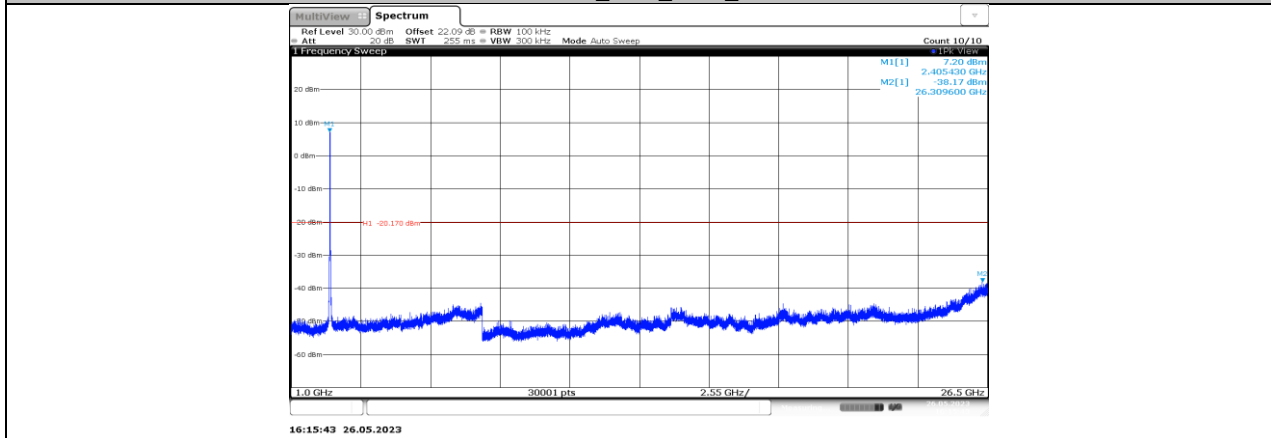




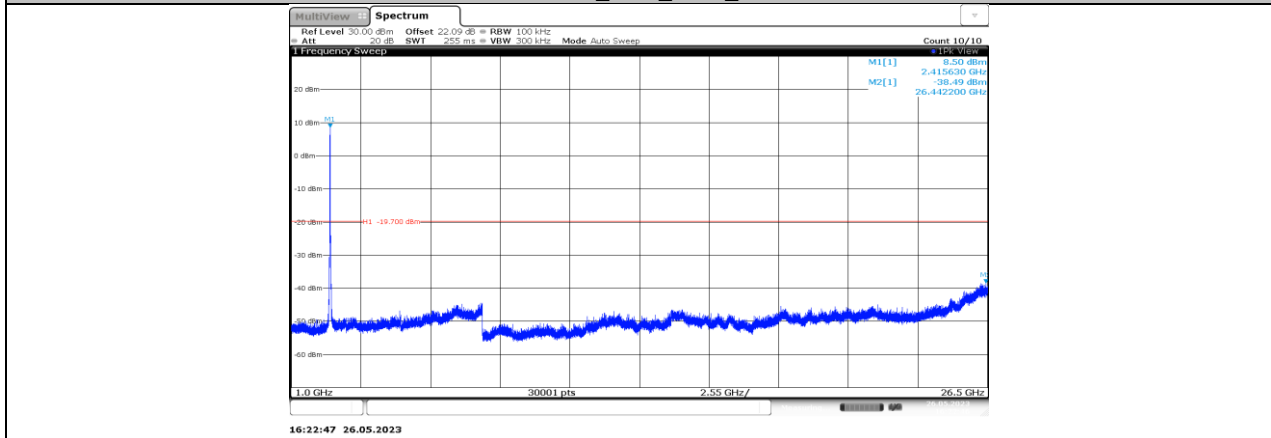
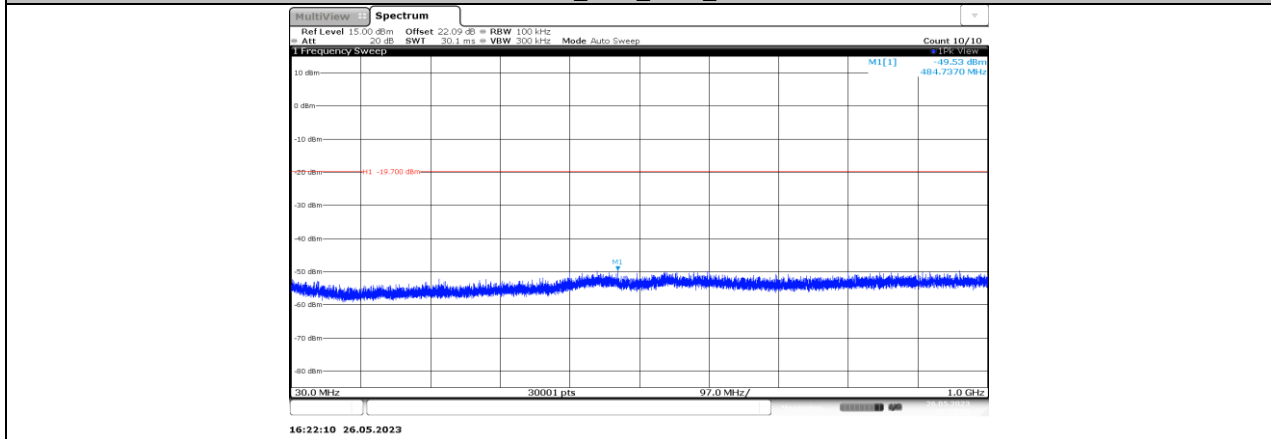
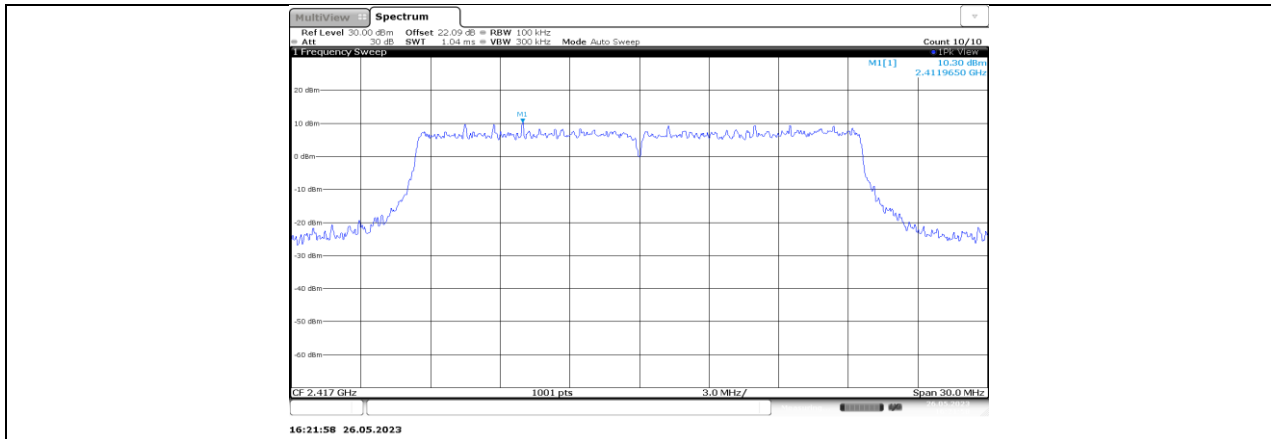
11AX20MIMO_Ant4_2412_0-Reference

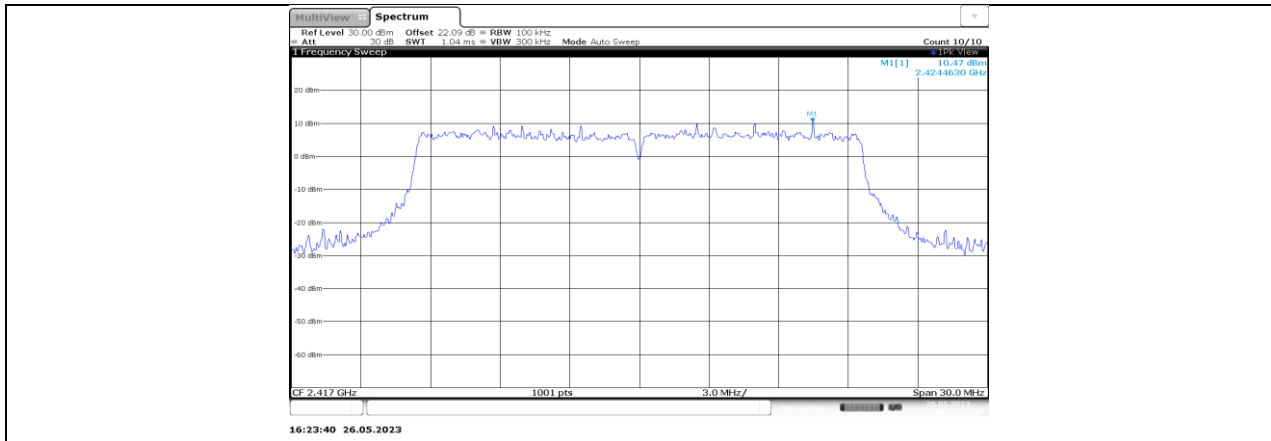


11AX20MIMO_Ant4_2412_30~1000

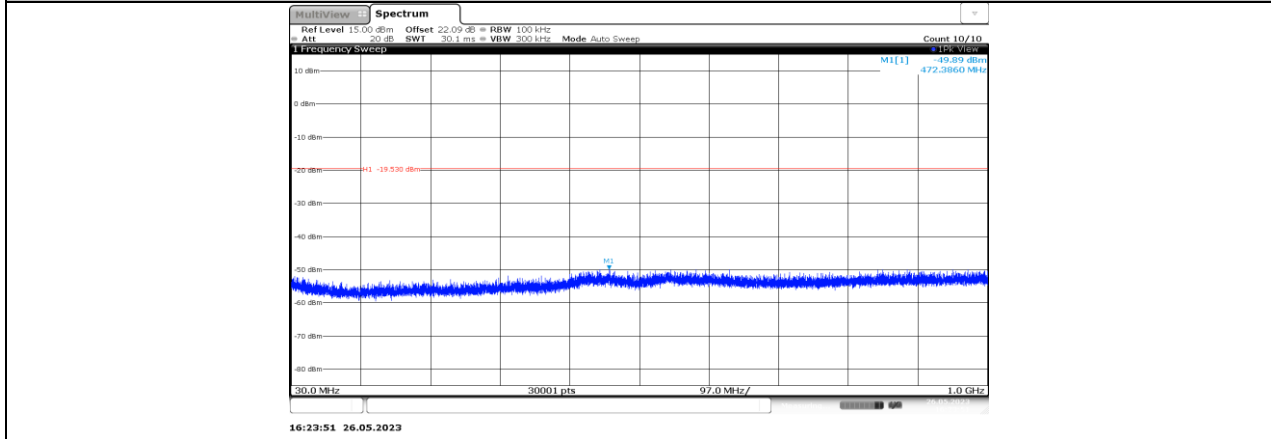


11AX20MIMO_Ant4_2412_1000~26500

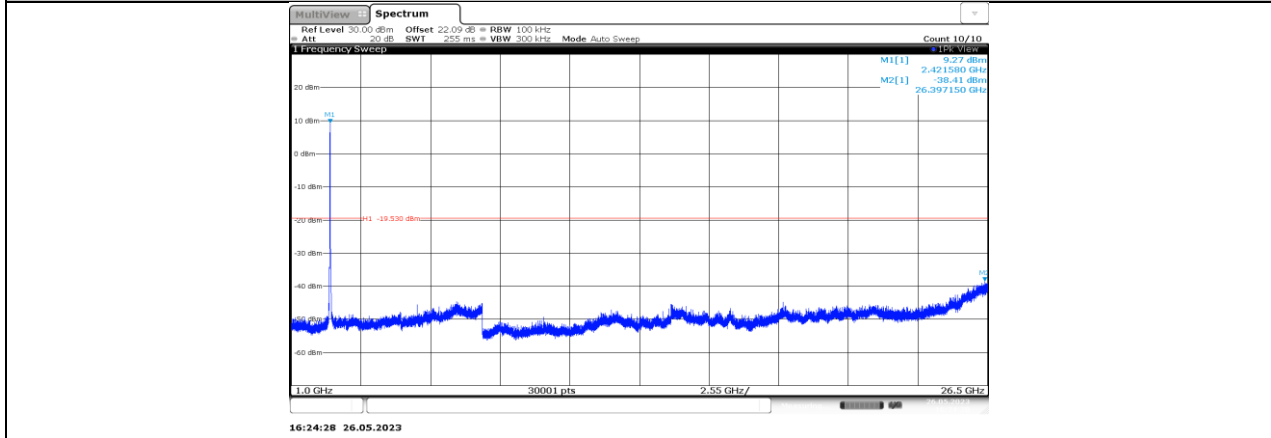




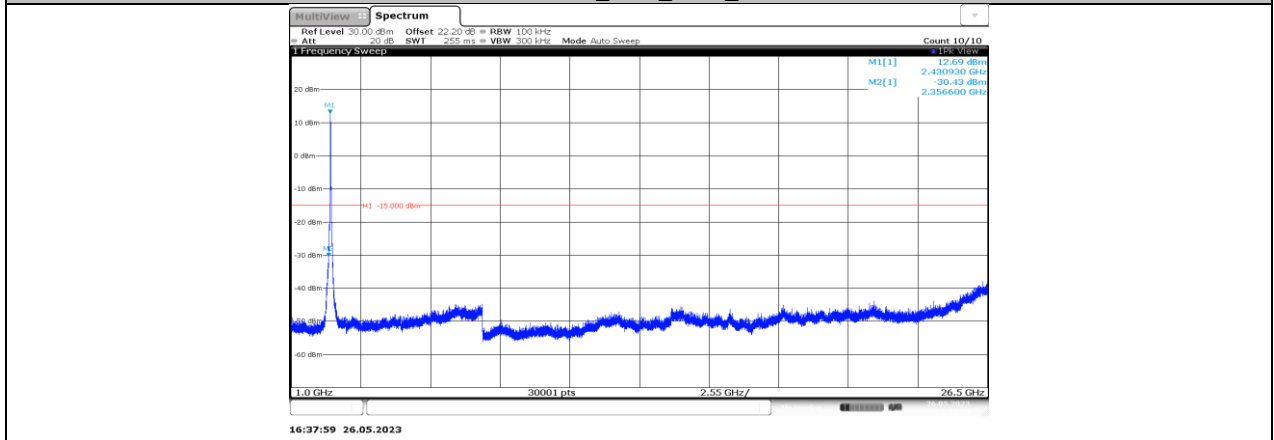
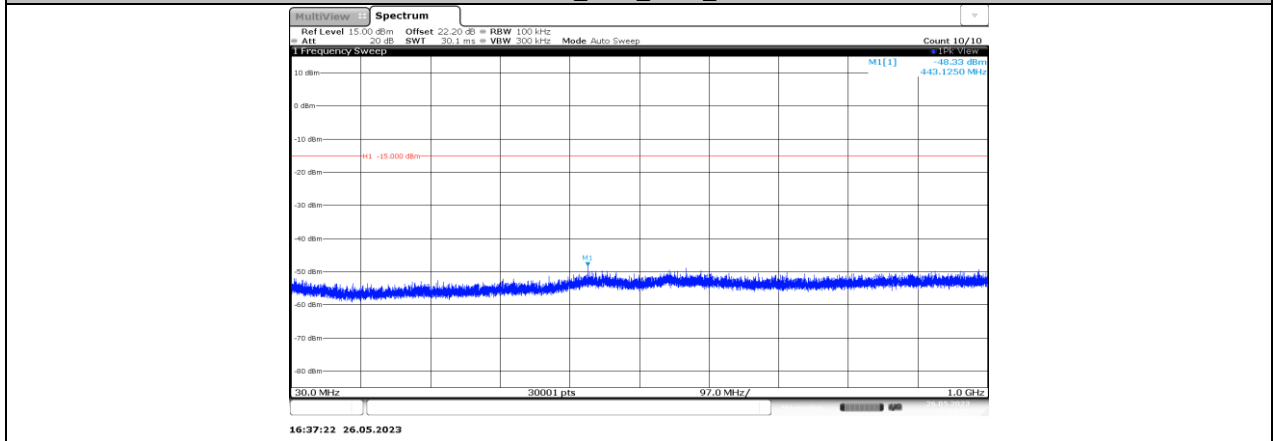
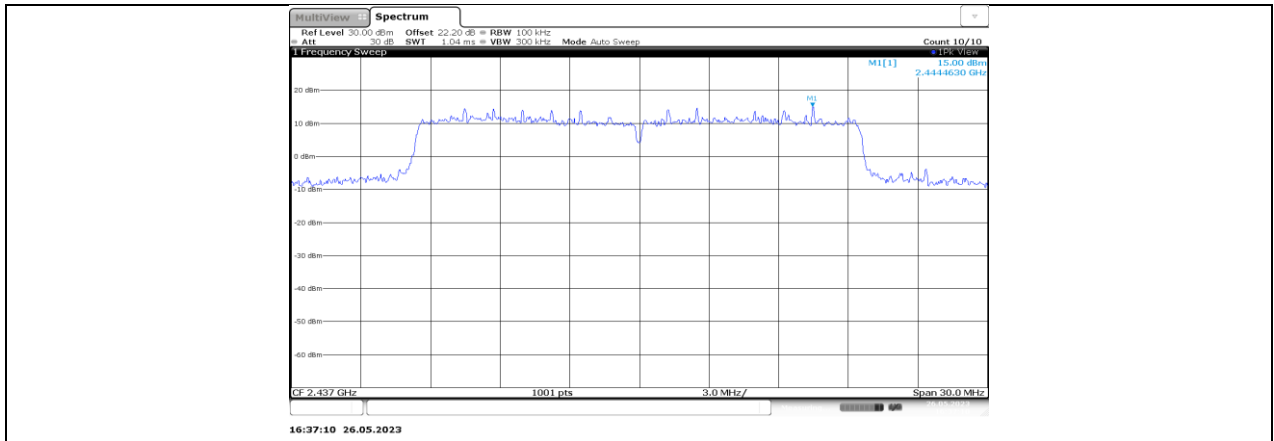
11AX20MIMO_Ant4_2417_0-Reference

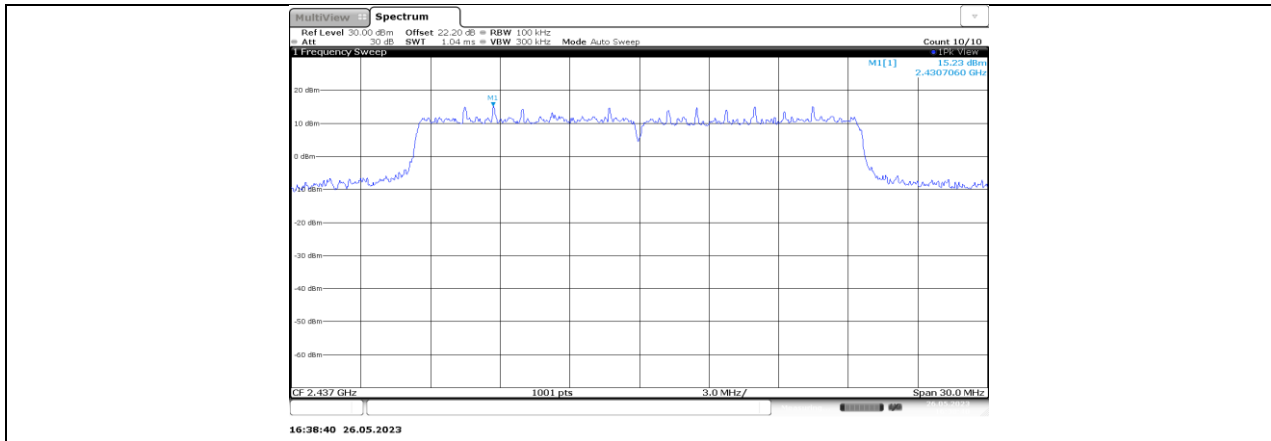


11AX20MIMO_Ant4_2417_30~1000

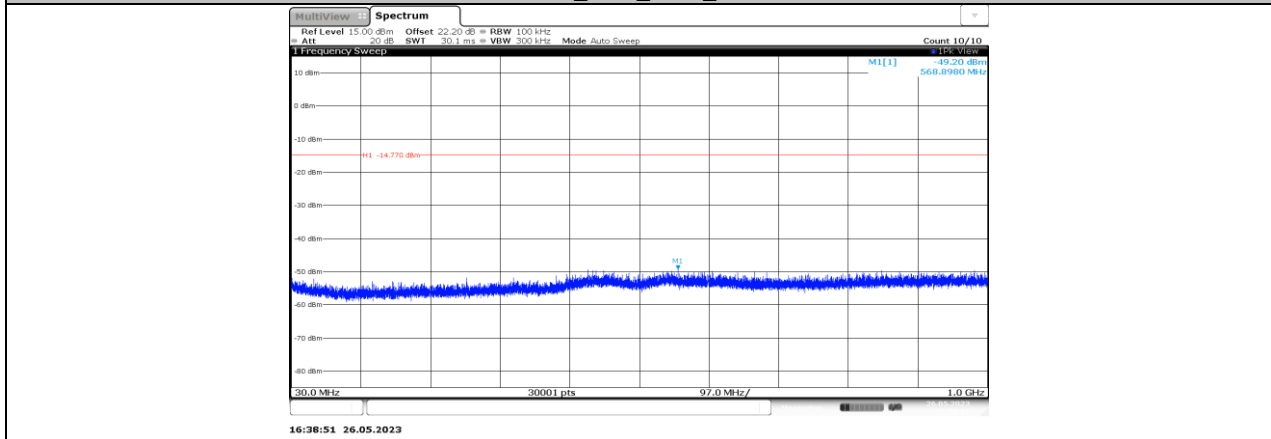


11AX20MIMO_Ant4_2417_1000~26500

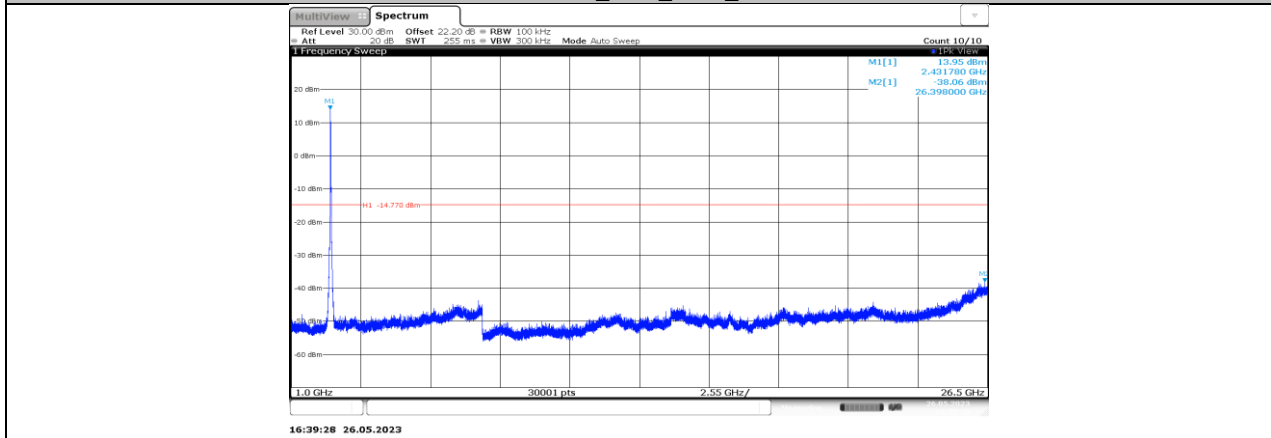




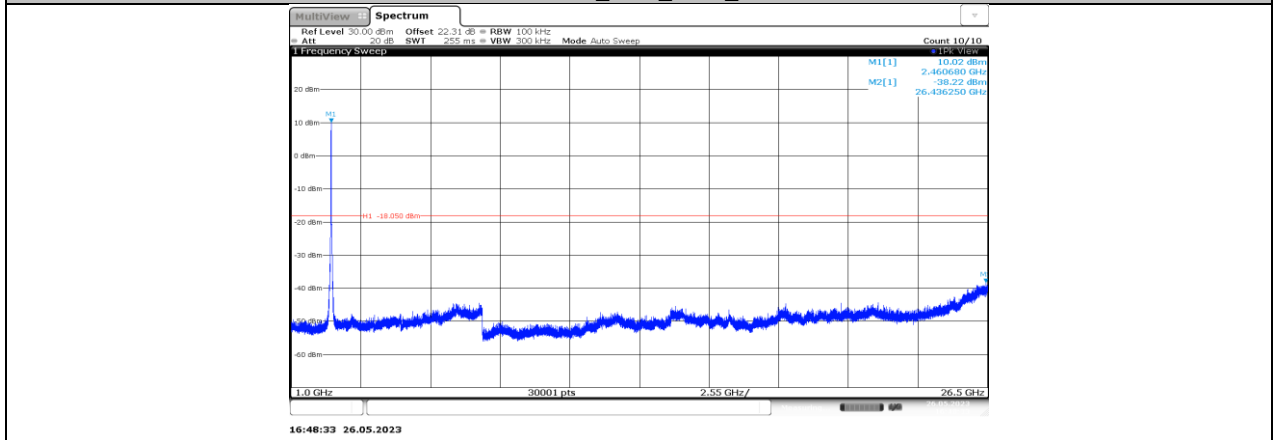
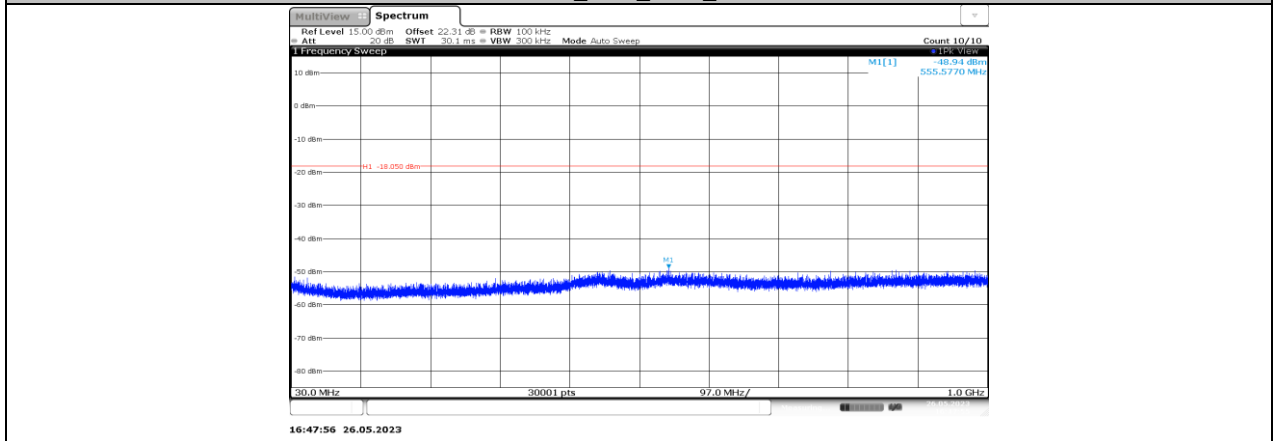
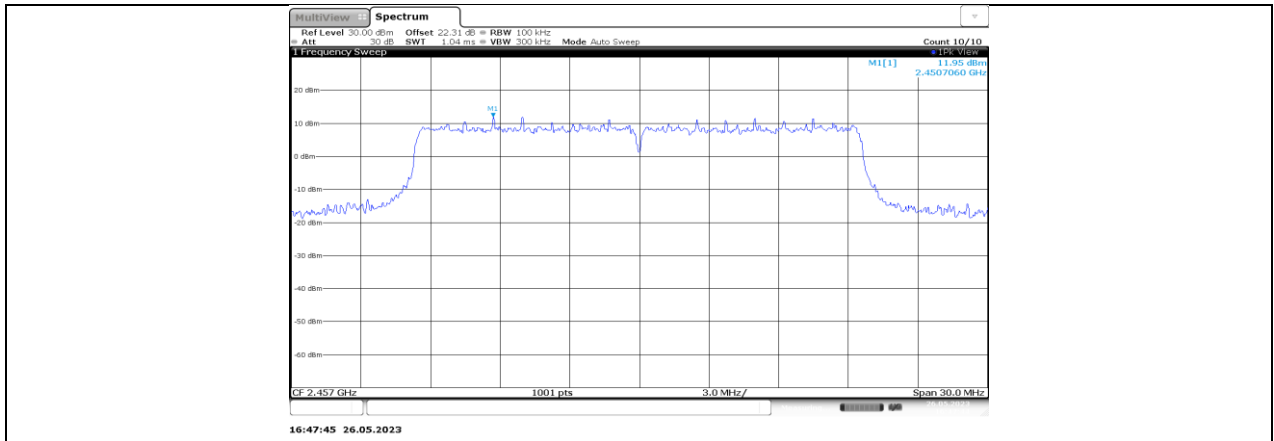
11AX20MIMO_Ant4_2437_0-Reference

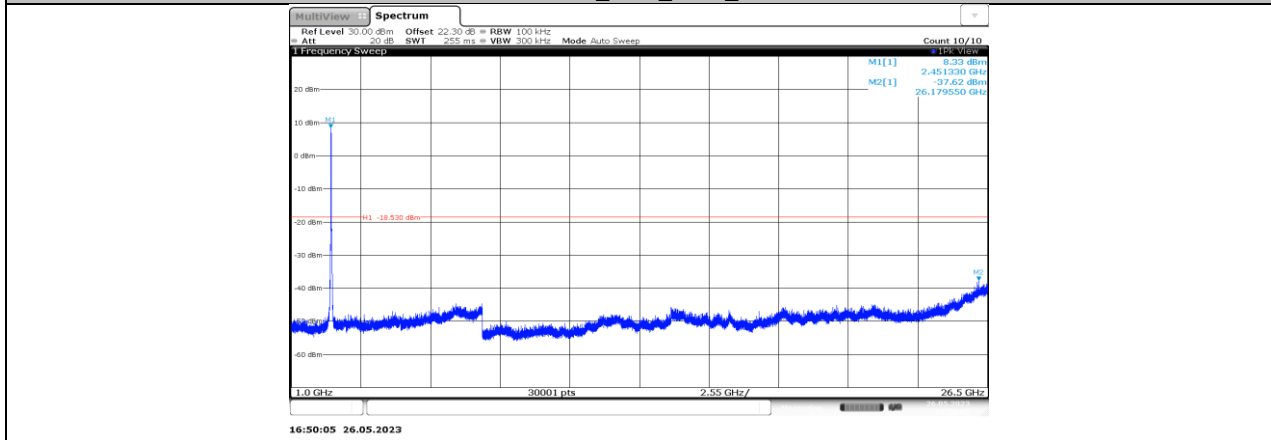
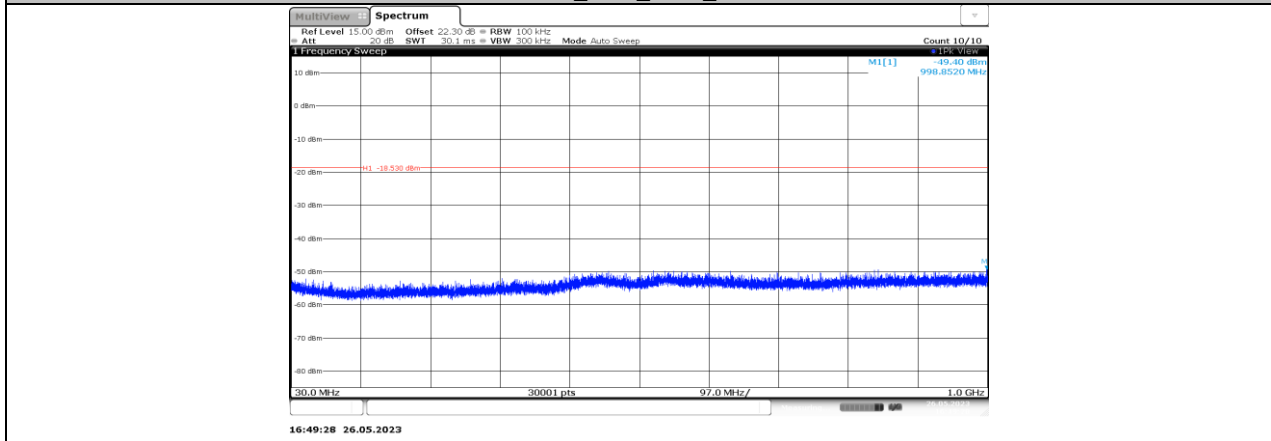
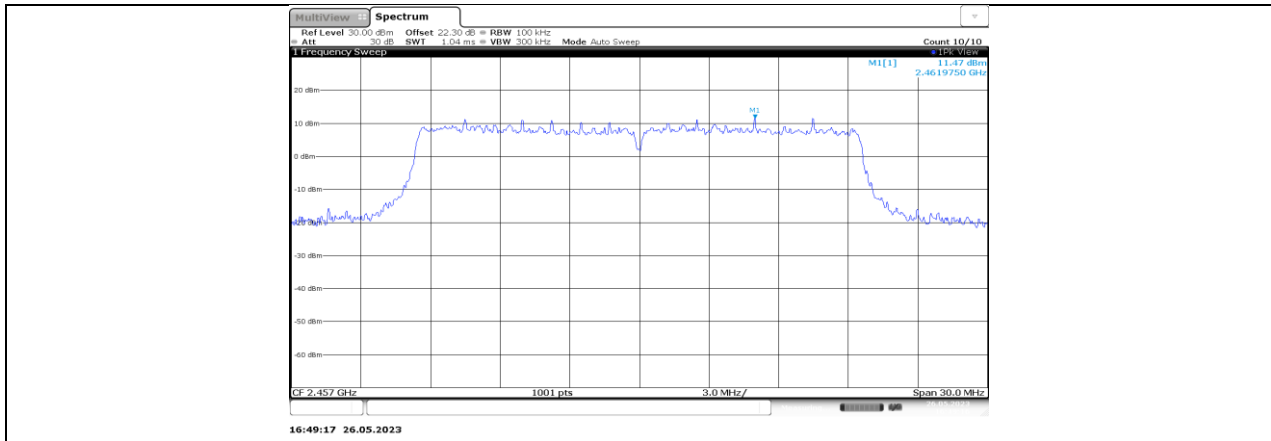


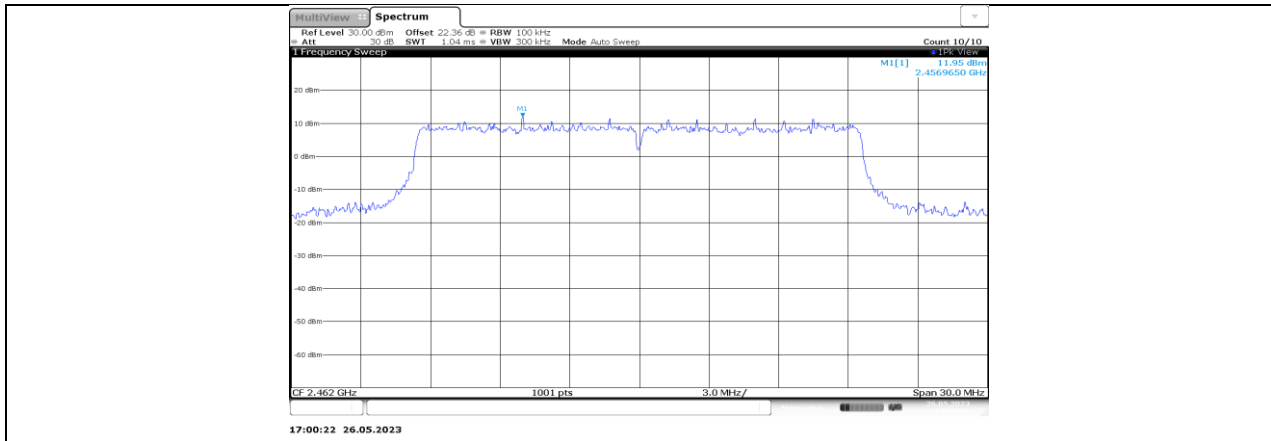
11AX20MIMO_Ant4_2437_30~1000



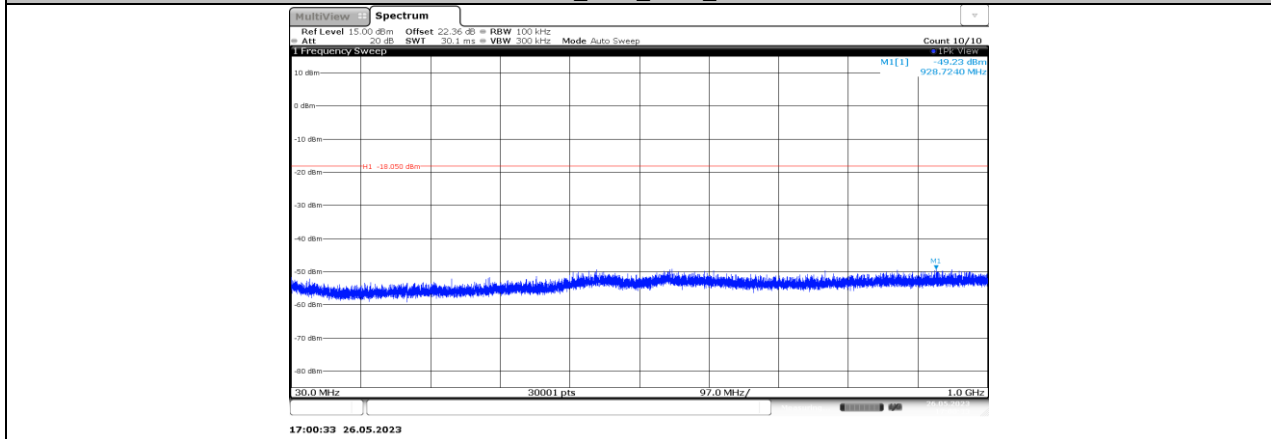
11AX20MIMO_Ant4_2437_1000~26500



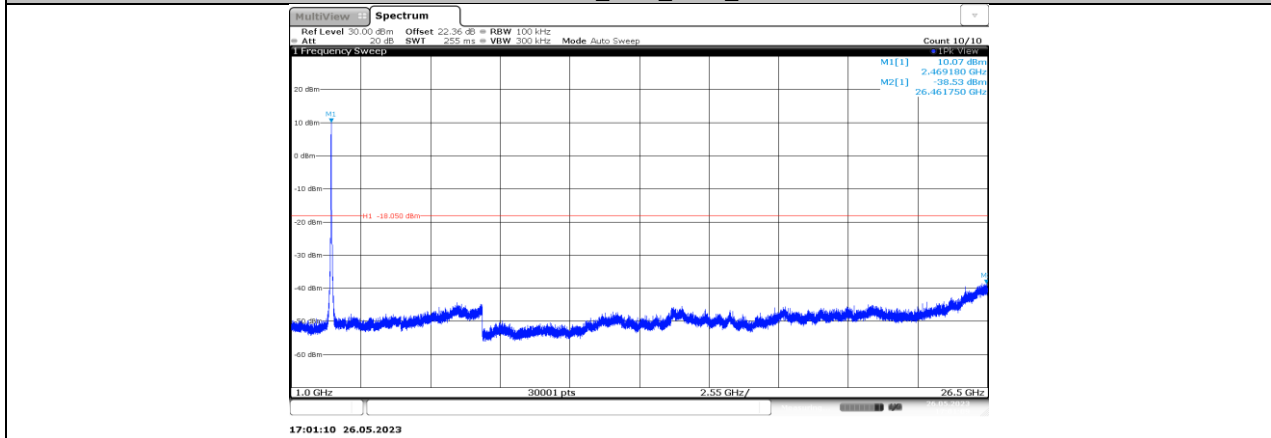




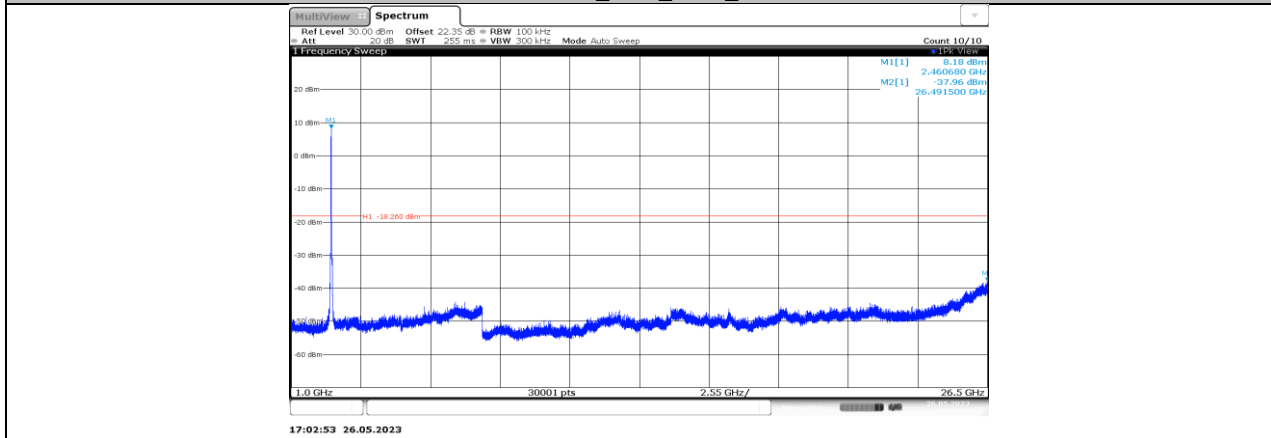
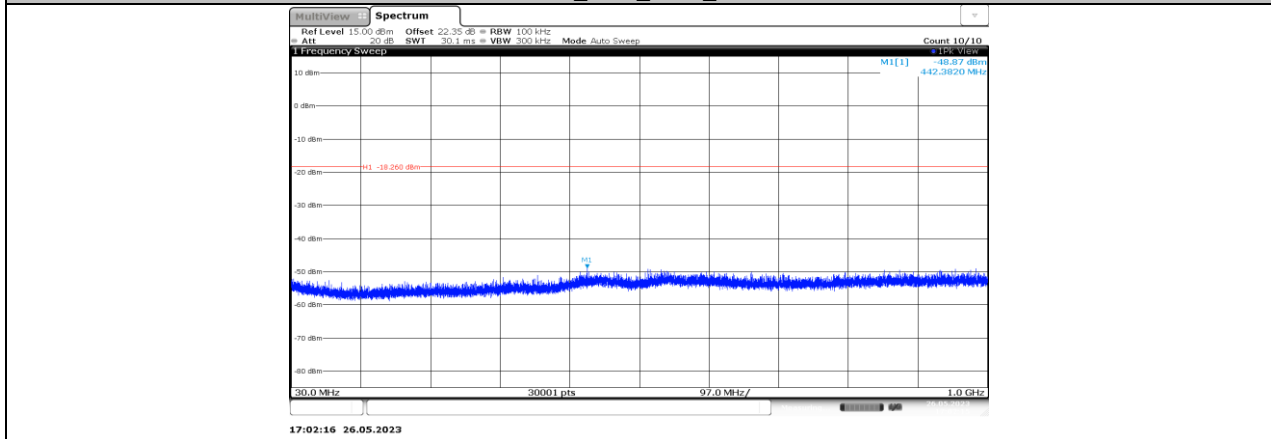
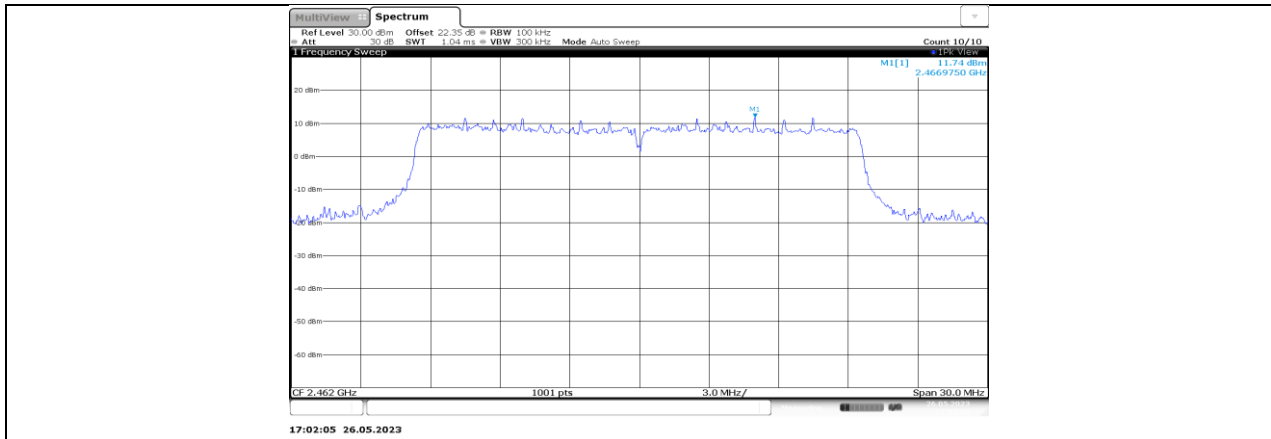
11AX20MIMO_Ant2_2462_0-Reference

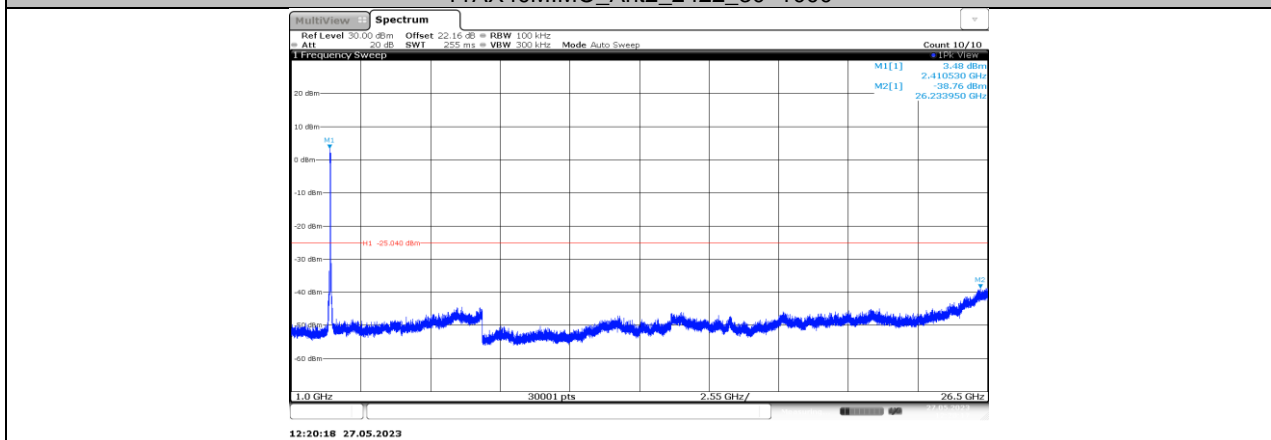
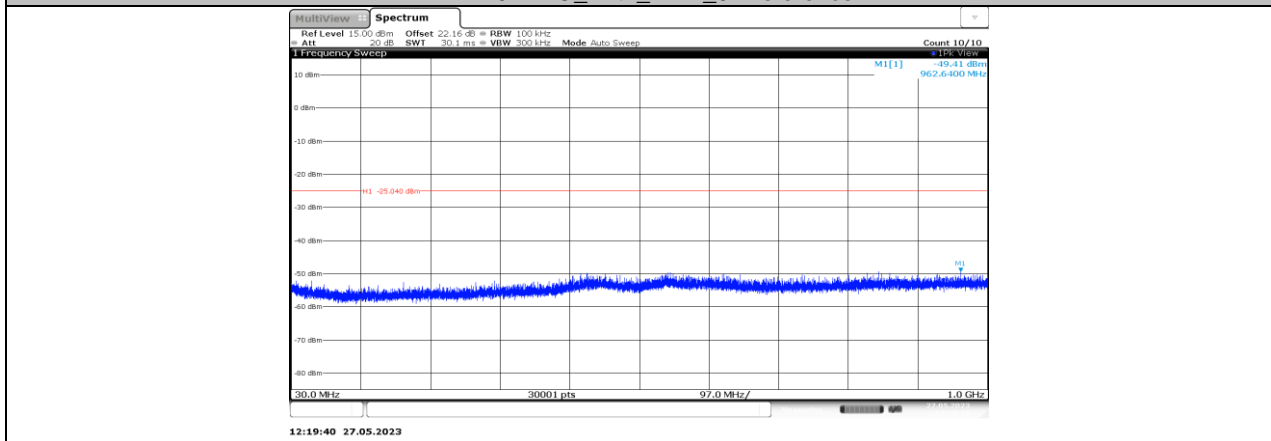
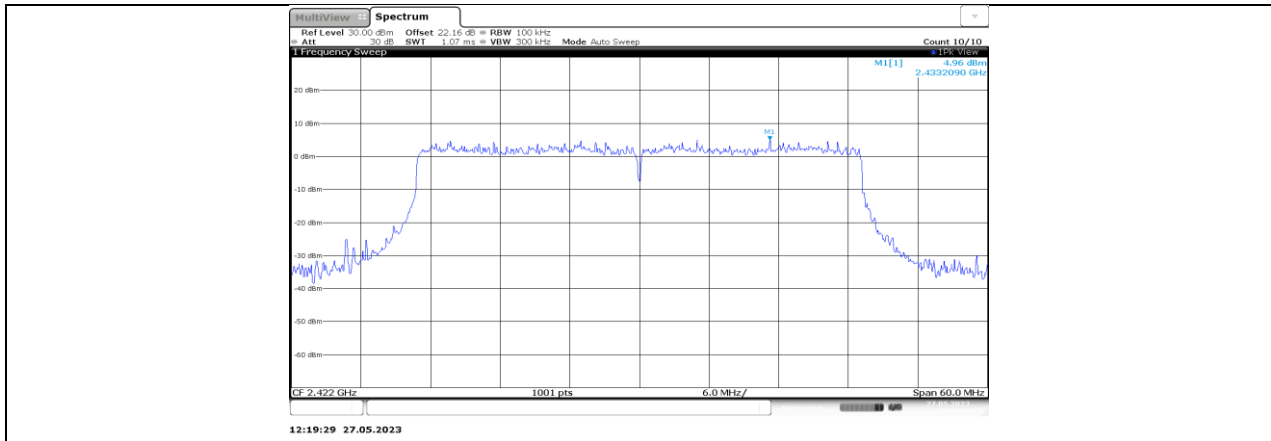


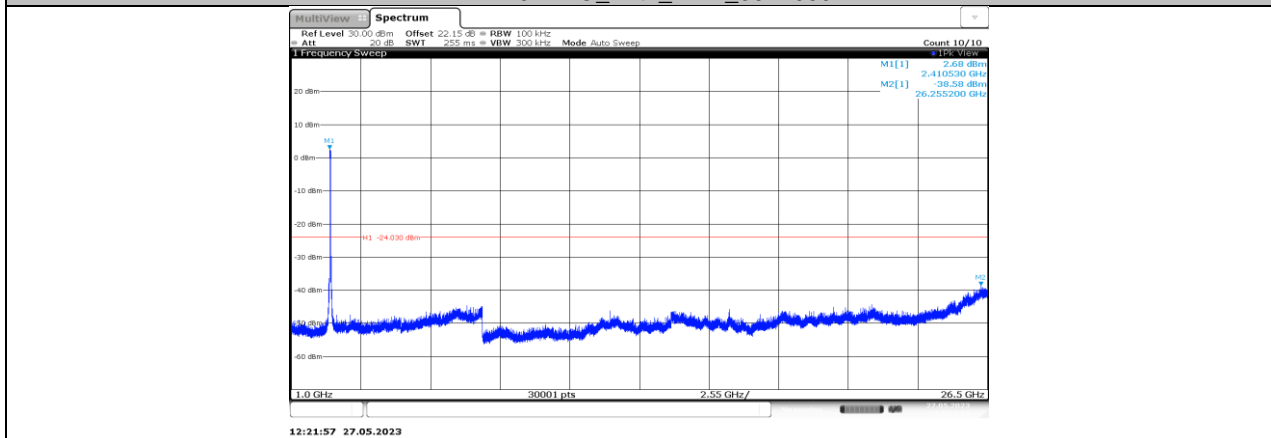
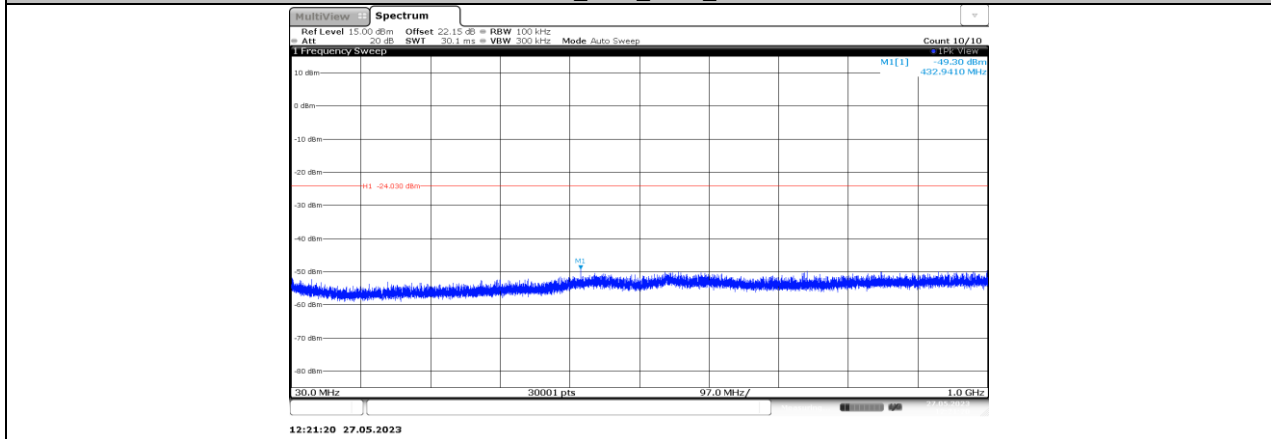
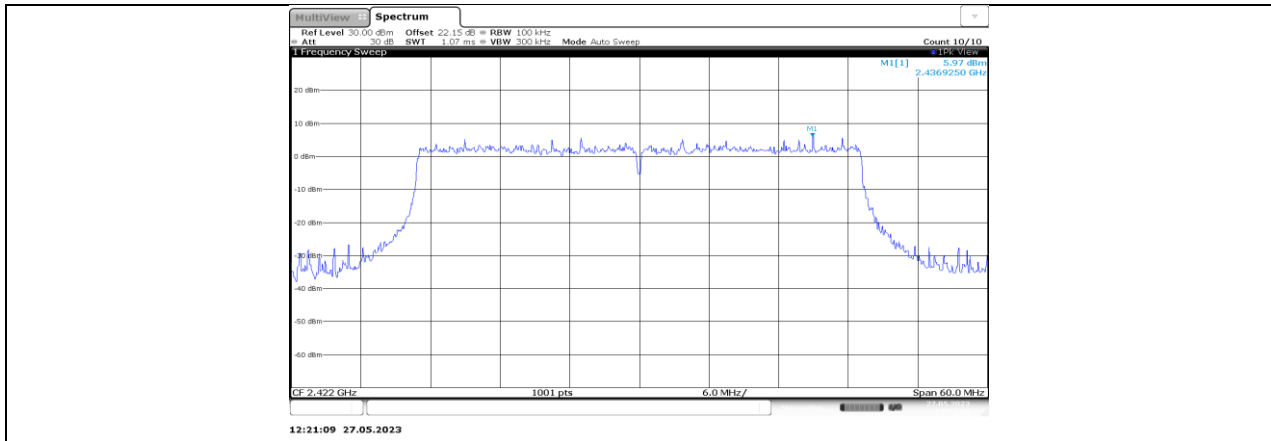
11AX20MIMO_Ant2_2462_30-1000

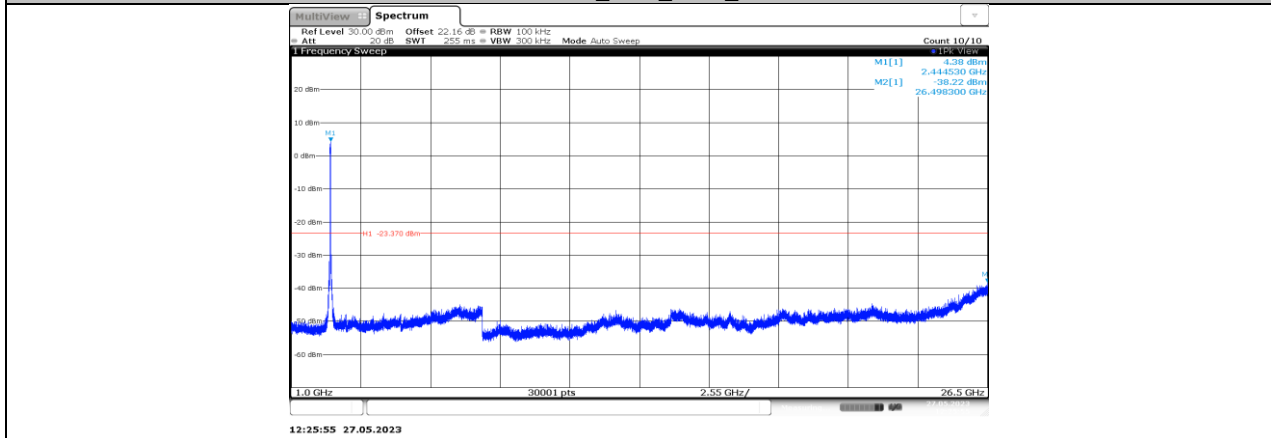
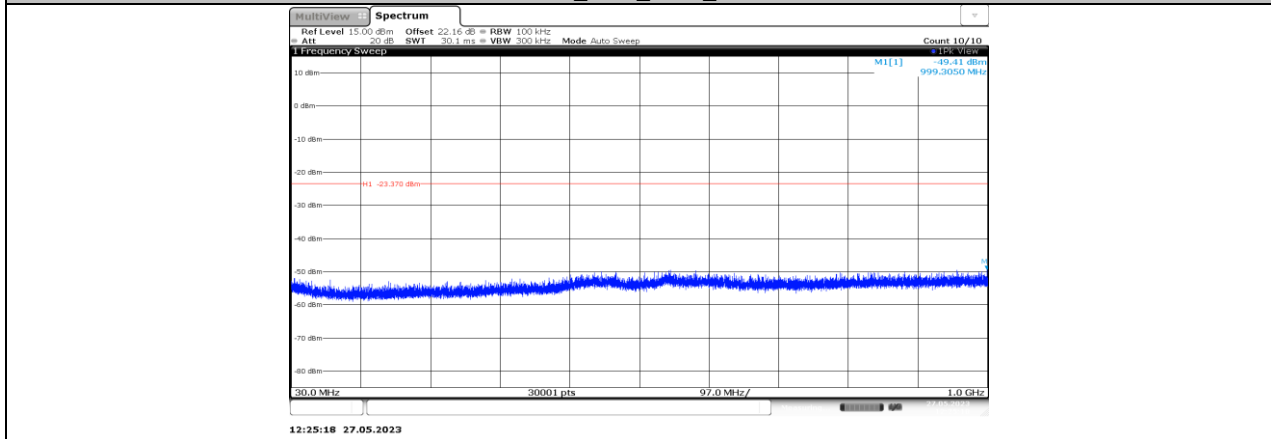
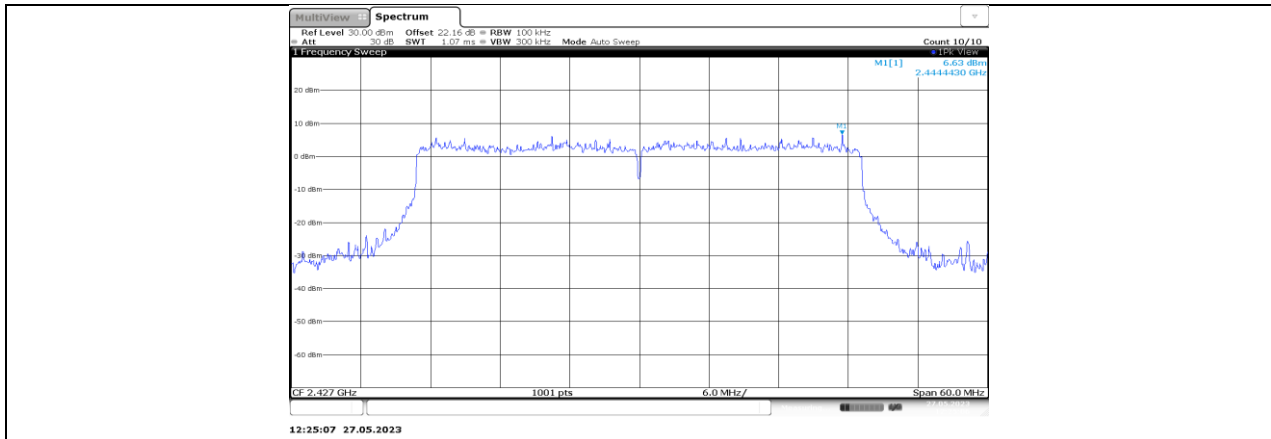


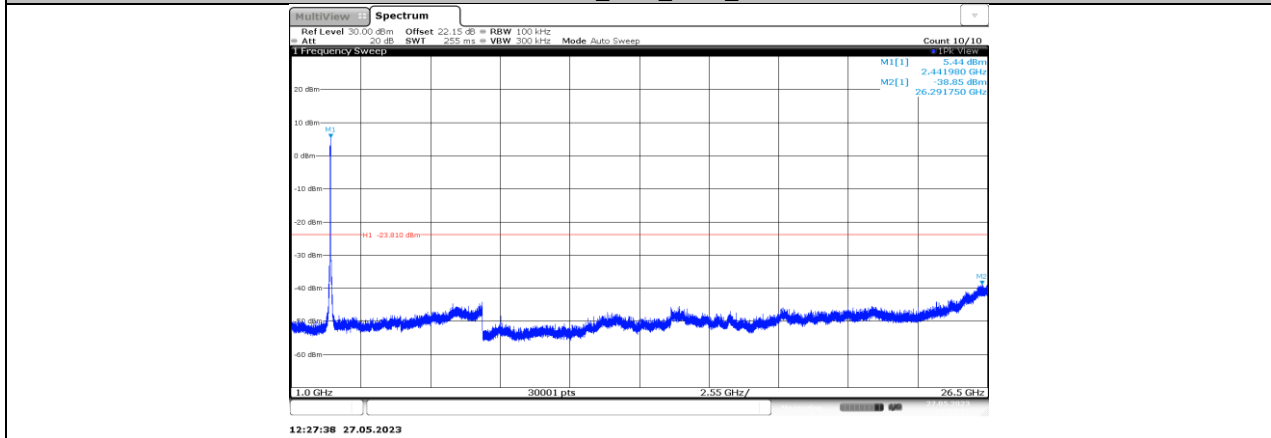
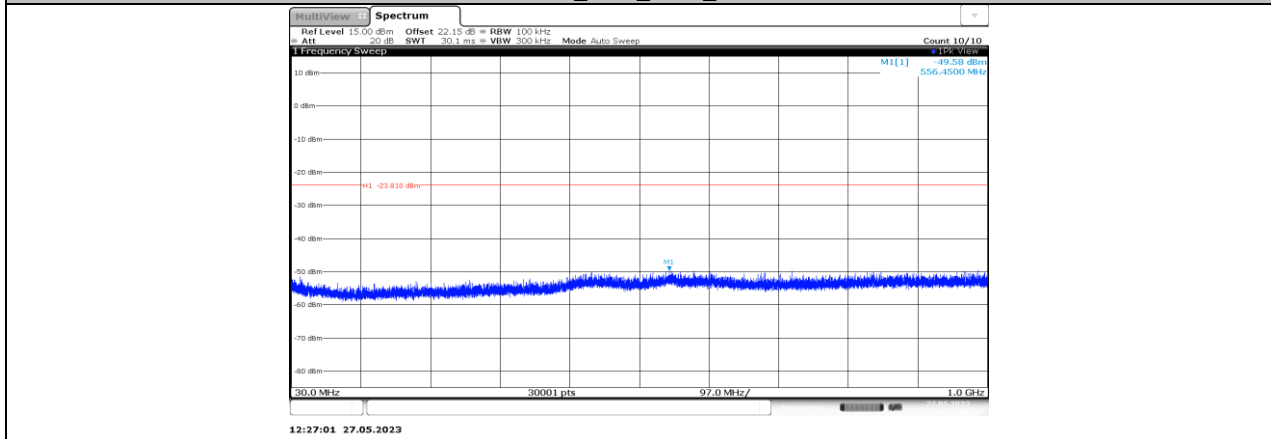
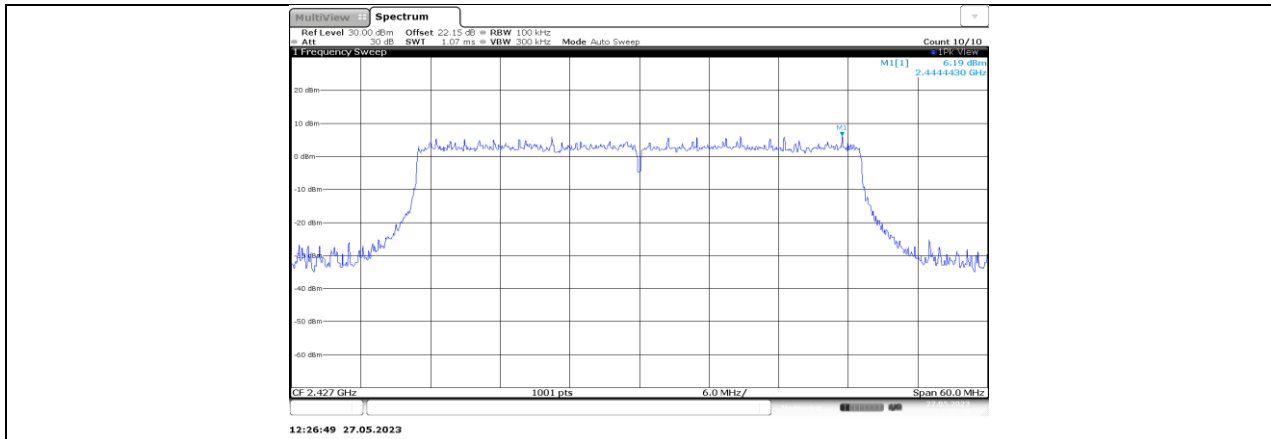
11AX20MIMO_Ant2_2462_1000-26500

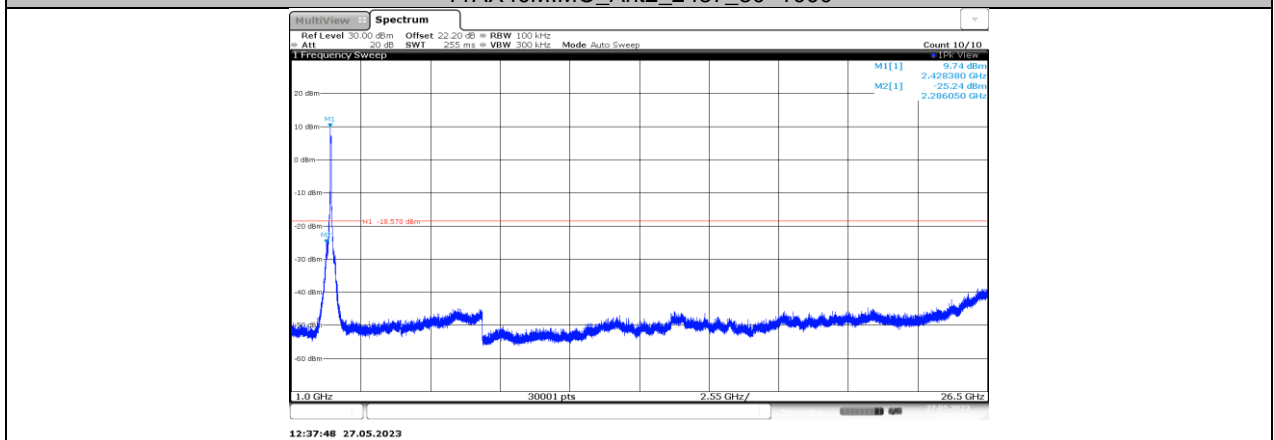
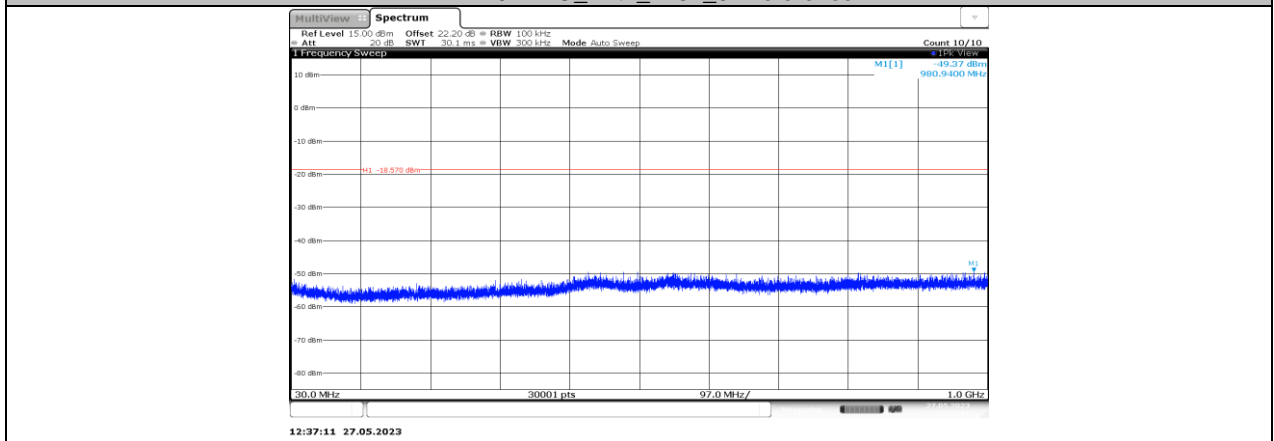
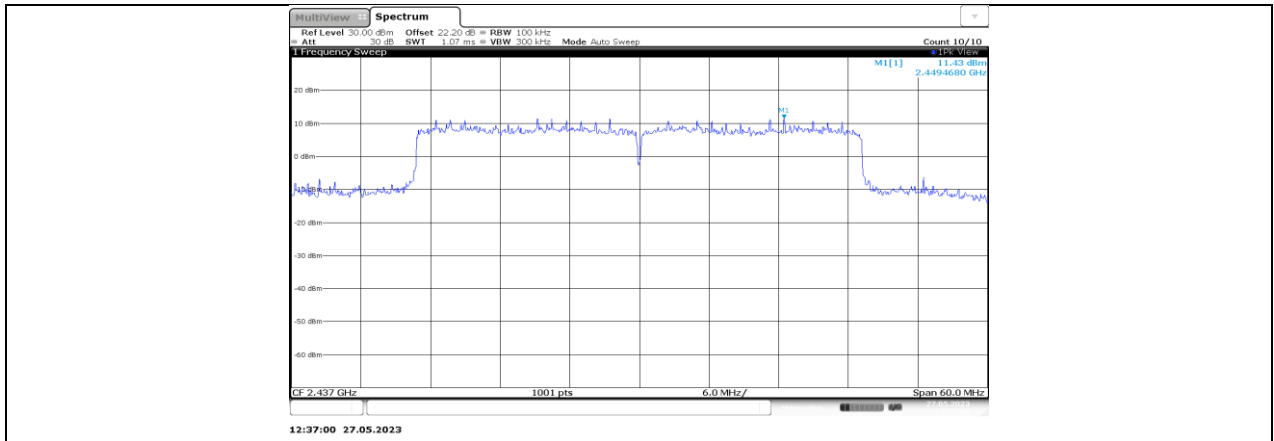


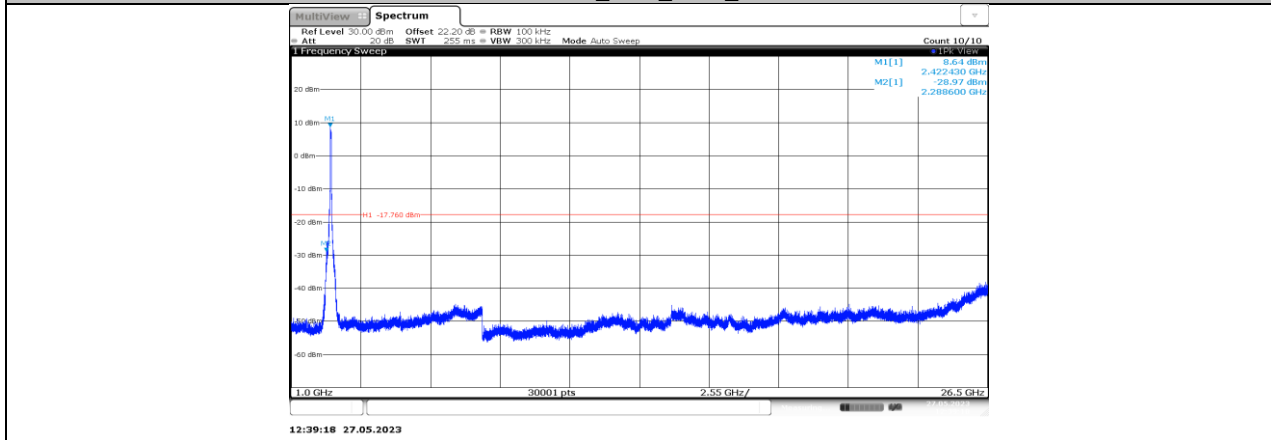
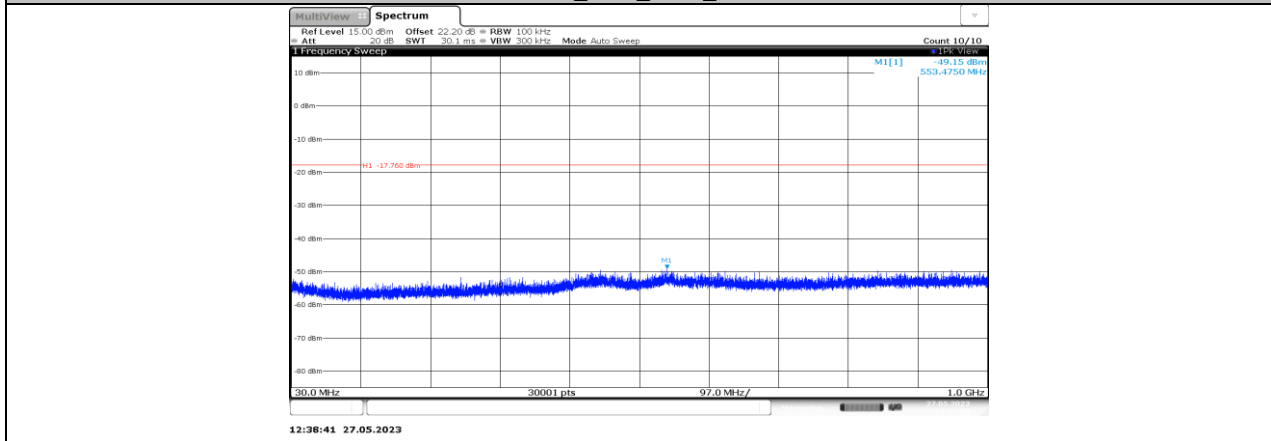
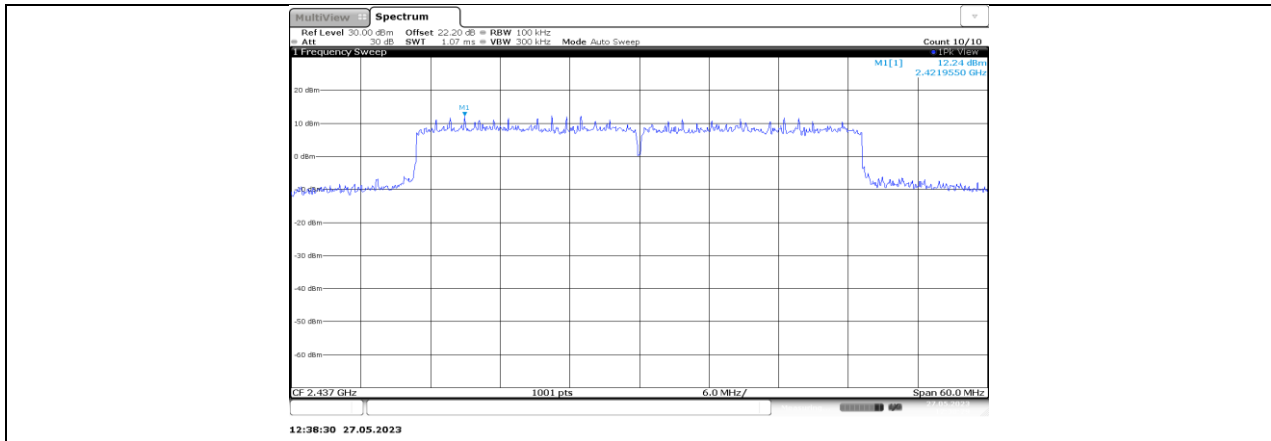


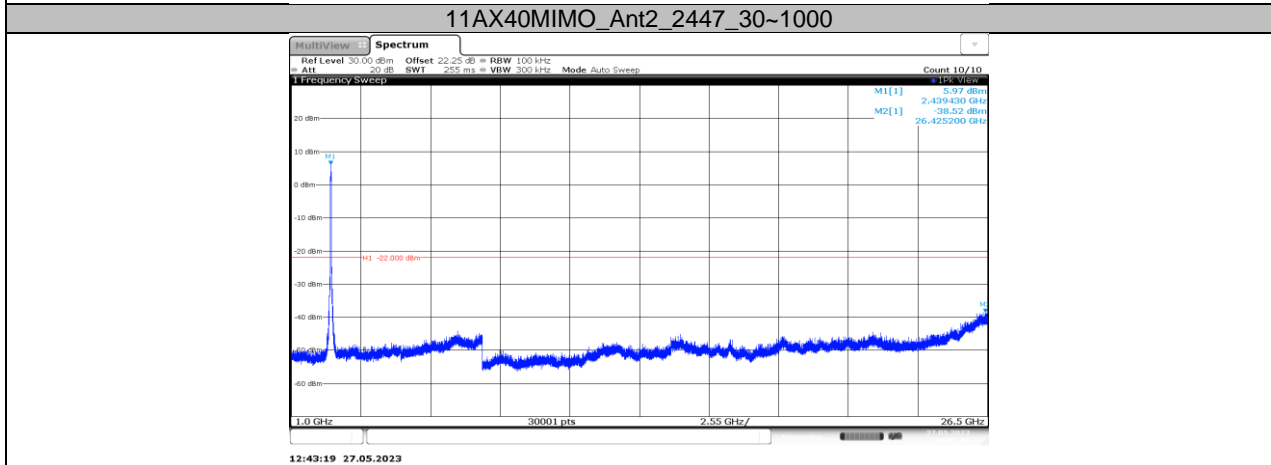
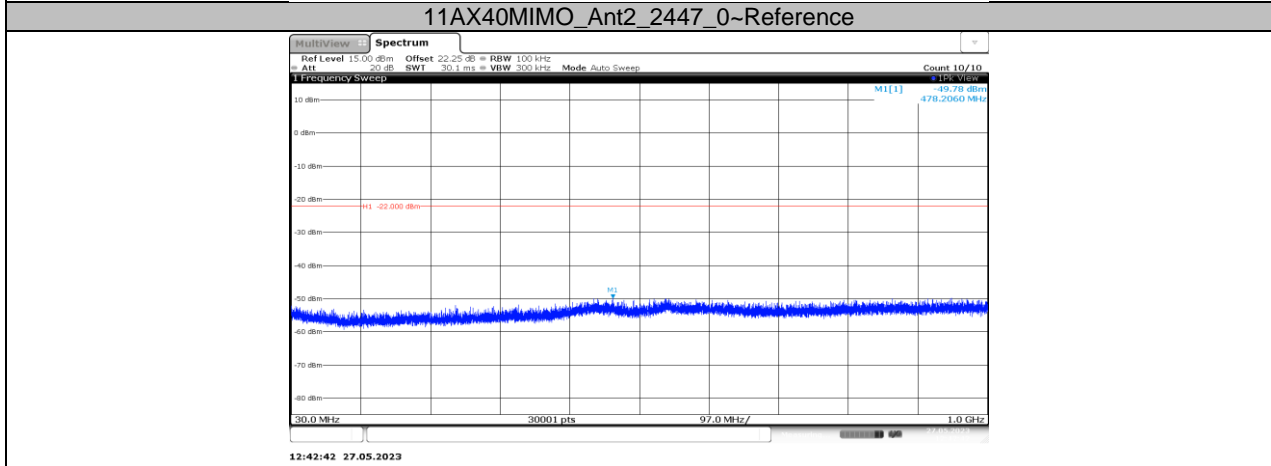
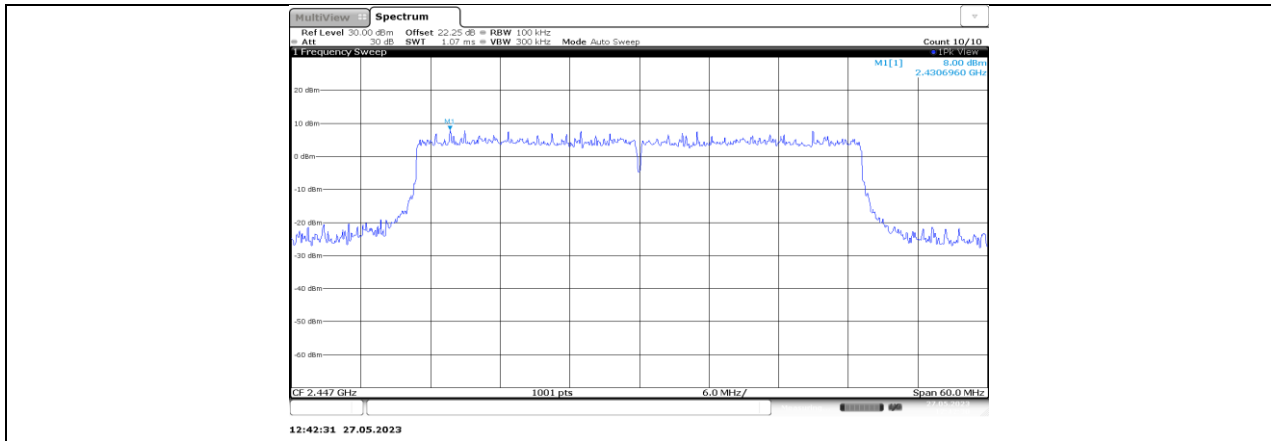


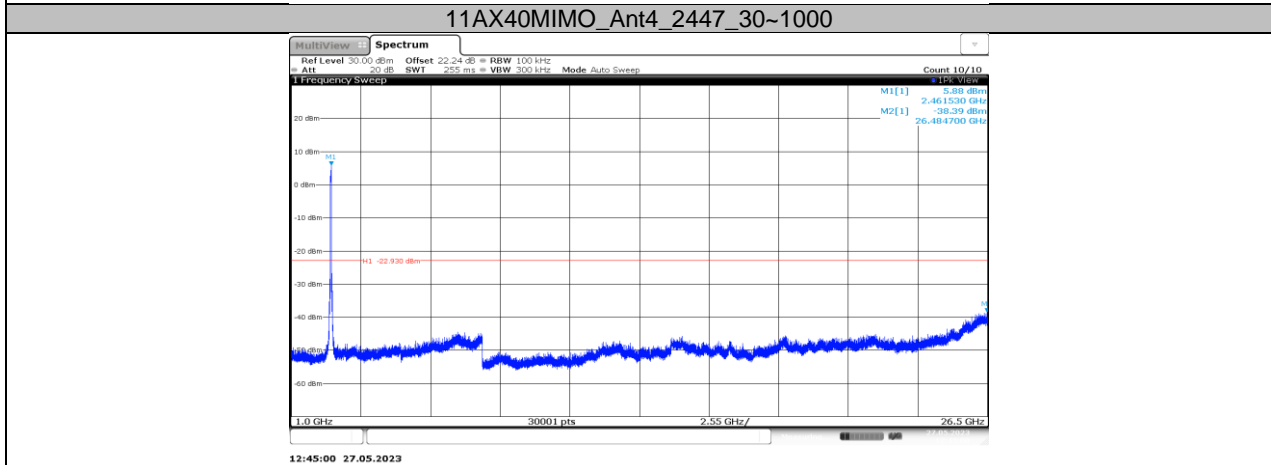
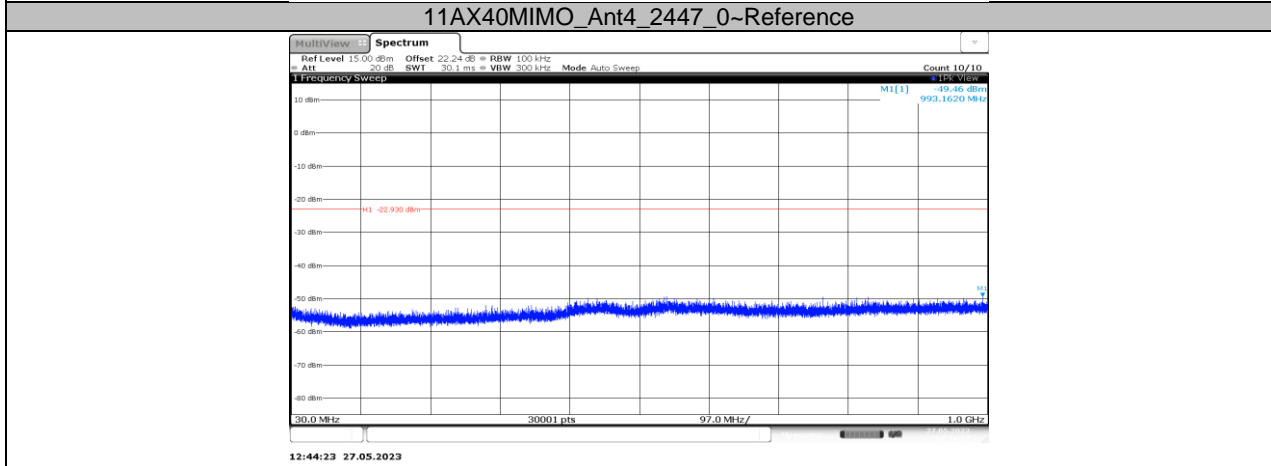
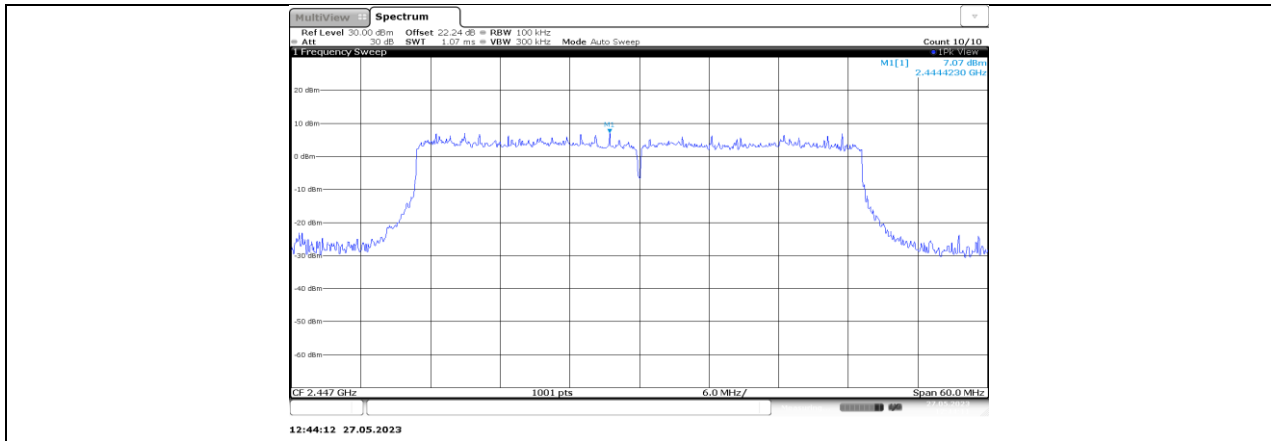


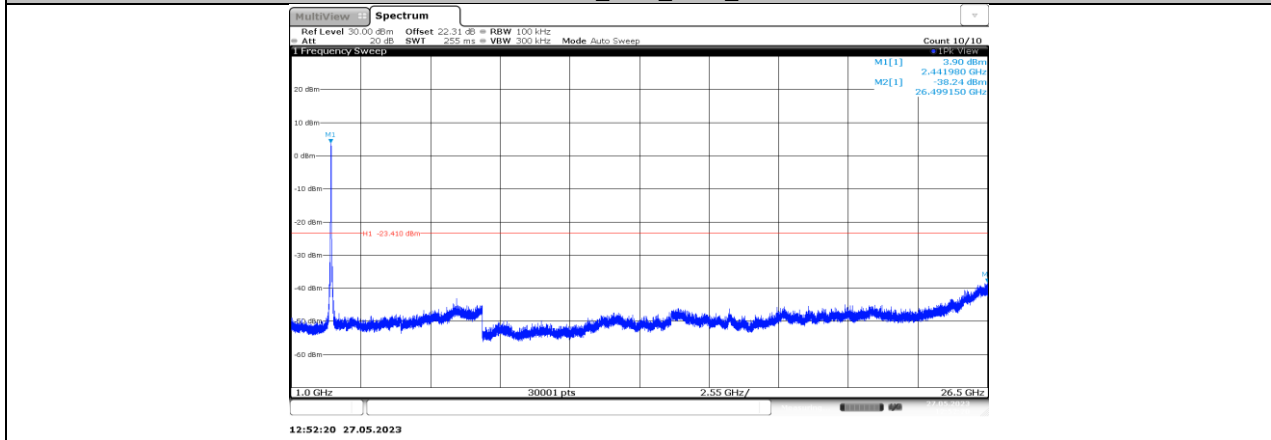
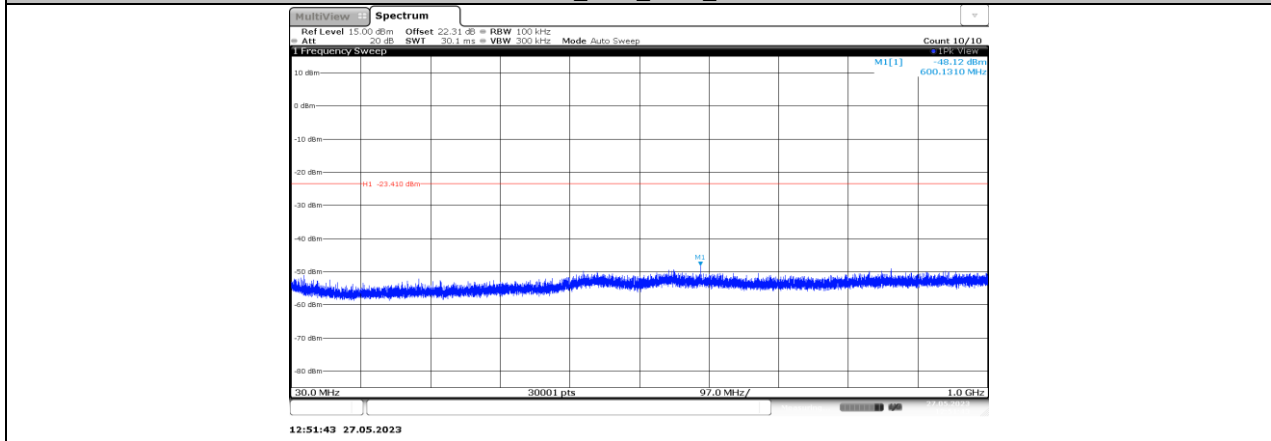
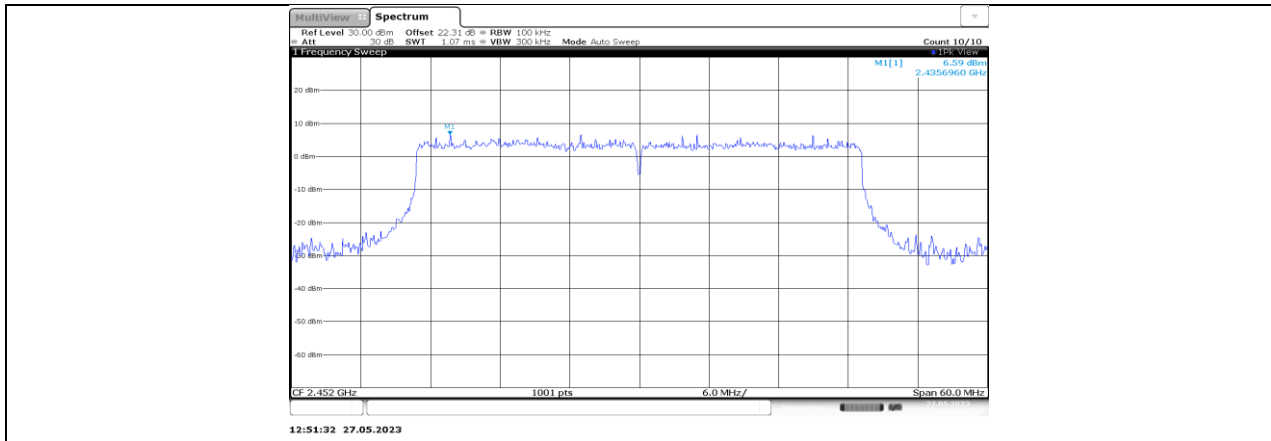


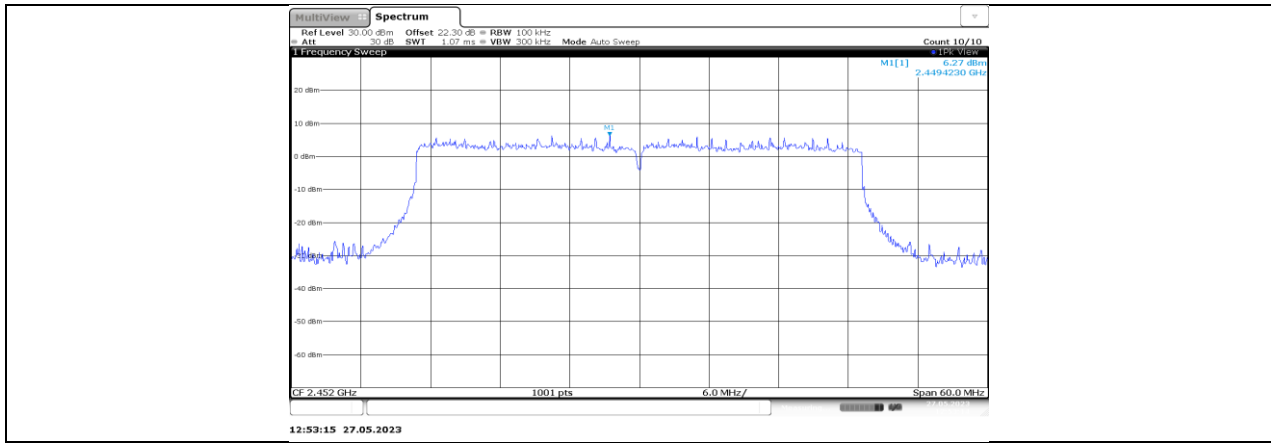




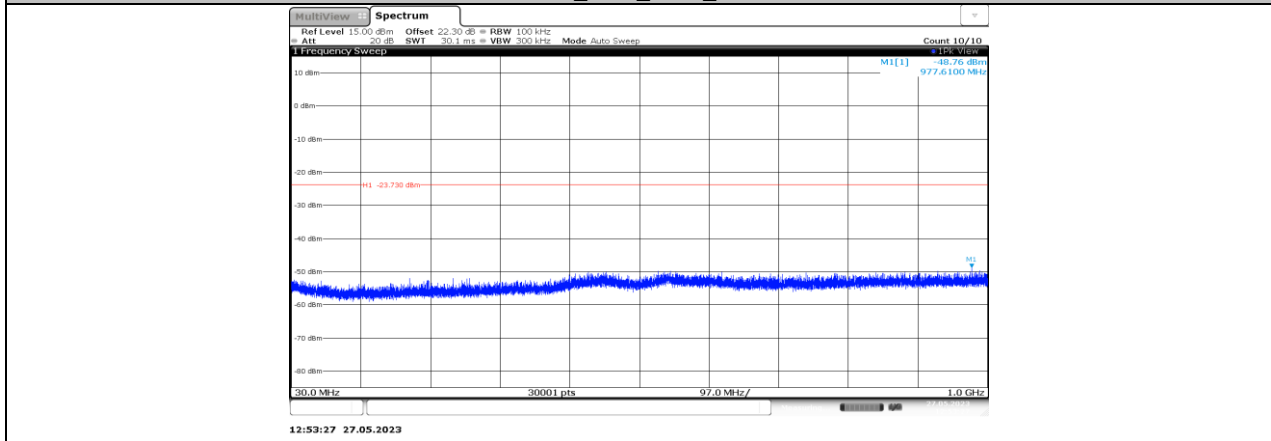




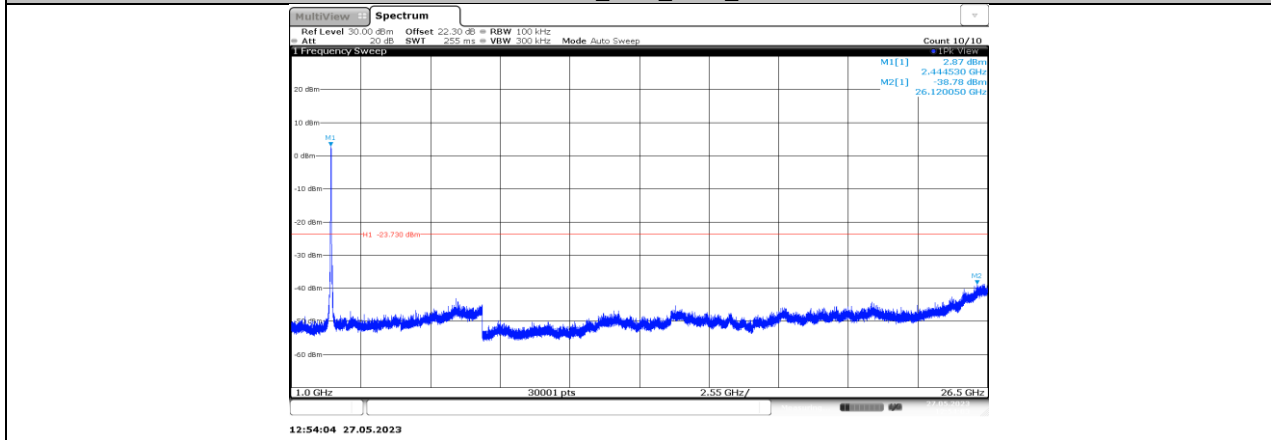




11AX40MIMO_Ant4_2452_0-Reference



11AX40MIMO_Ant4_2452_30~1000



11AX40MIMO_Ant4_2452_1000~26500

11.7. APPENDIX G: DUTY CYCLE

11.7.1. Test Result

Test Mode	On Time (msec)	Period (msec)	Duty Cycle x (Linear)	Duty Cycle (%)	Duty Cycle Correction Factor (dB)	1/T Minimum VBW (kHz)	Final setting For VBW (kHz)
11B-CDD	9.99	10.62	0.9407	94.07	0.27	0.10	0.5
11G-CDD	1.98	2.12	0.9340	93.40	0.30	0.51	1
11N20MIMO	5.43	5.96	0.9111	91.11	0.40	0.18	0.5
11N40MIMO	5.43	5.95	0.9126	91.26	0.40	0.18	0.5
11AX20MIMO	5.45	5.95	0.9160	91.60	0.38	0.18	0.5
11AX40MIMO	5.45	6.42	0.8489	84.89	0.71	0.18	0.5

Note:

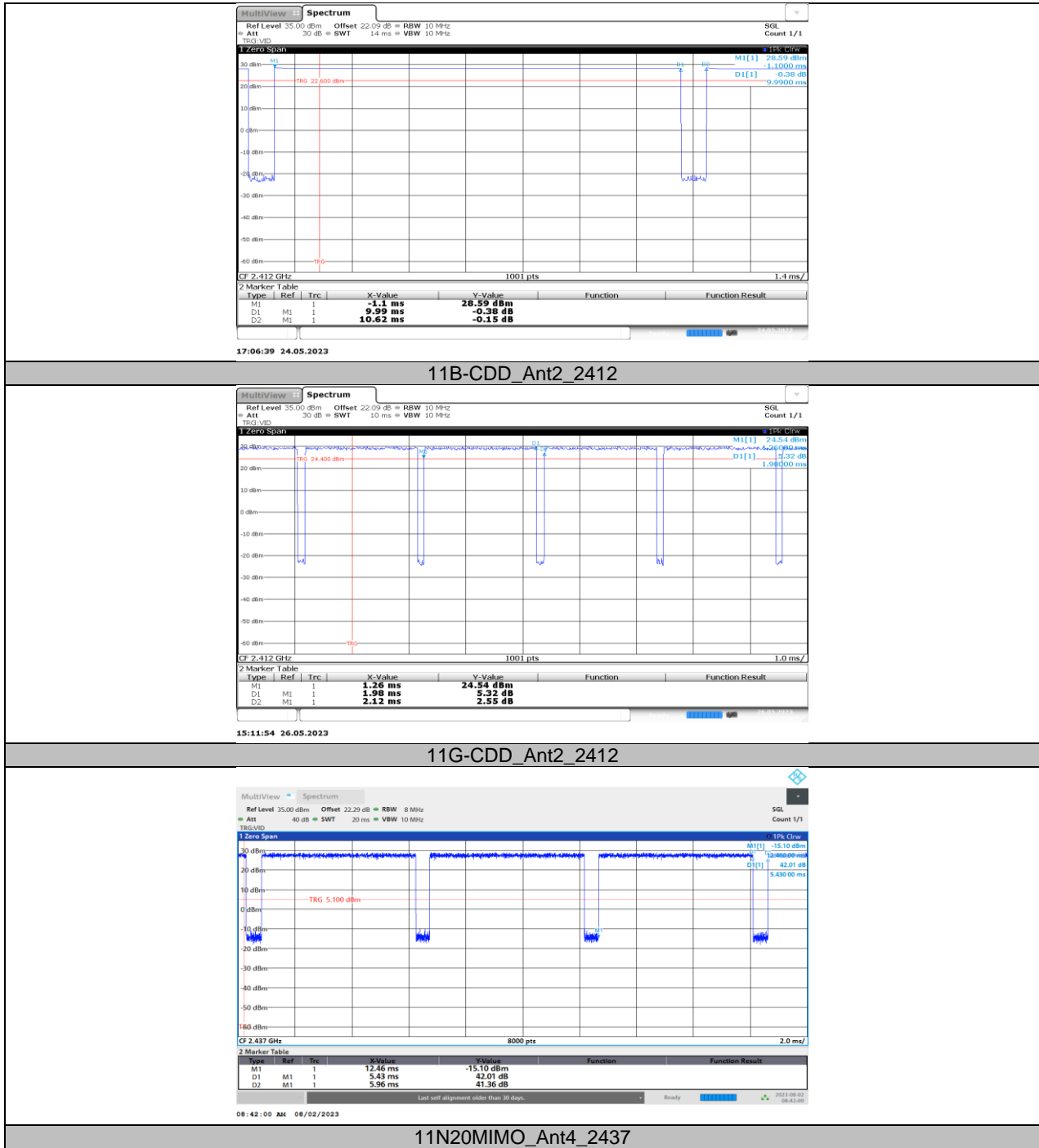
Duty Cycle Correction Factor=10log (1/x).

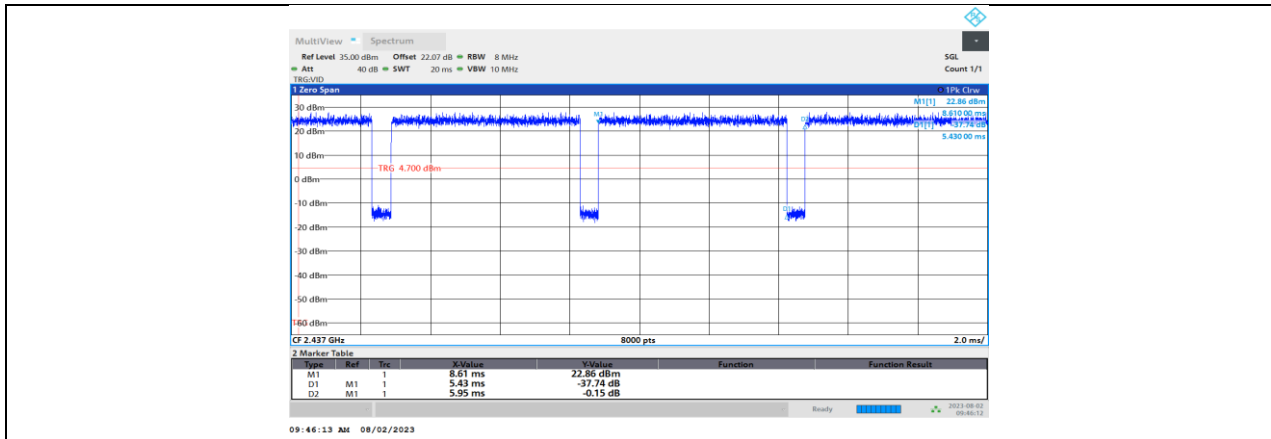
Where: x is Duty Cycle (Linear)

Where: T is On Time

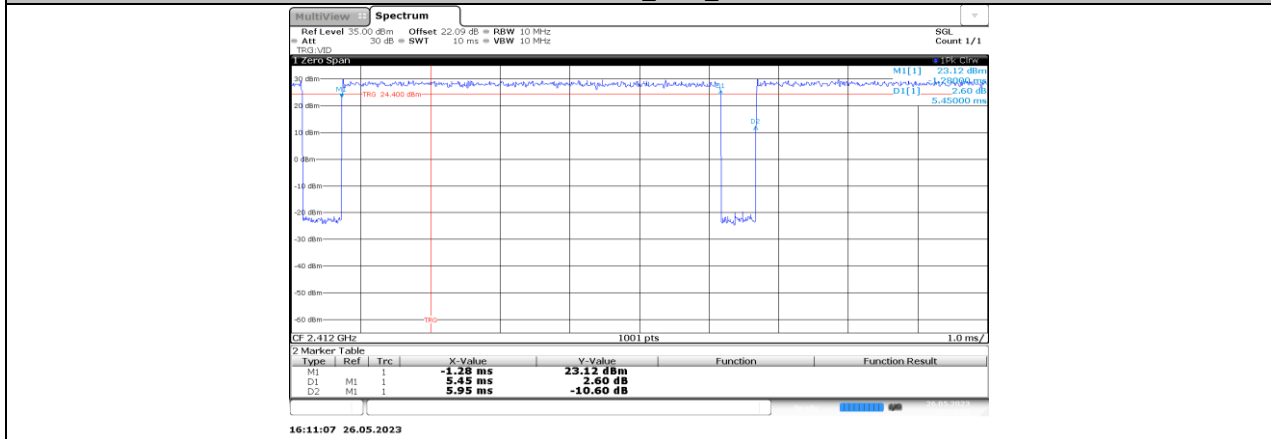
If that calculated VBW is not available on the analyzer then the next higher value should be used.

11.7.2. Test Graphs

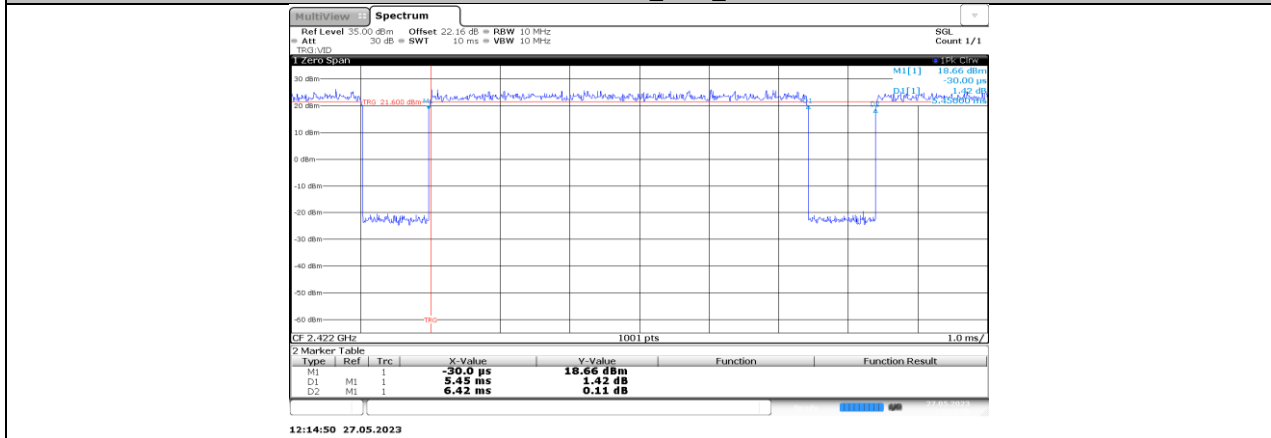




11N40MIMO_Ant2_2437



11AX20MIMO_Ant2_2412



11AX40MIMO_Ant2_2422

END OF REPORT